



<https://gep.ui.ac.ir/?lang=en>  
Geography and Environmental Planning  
E-ISSN: 2252- 0910  
Document Type: Research Paper  
Vol. 35, Issue 1, No.93, Spring 2024, pp. 1- 3  
Received: 23/01/2023 Accepted: 04/09/2023

## Arabian Sea's Moisture Transfer Mechanisms in Pervasive Dry and Wet Periods of Iran

Zahed Deldarzehi <sup>1</sup>, Peyman Mahmoudi <sup>2</sup>\*<sup>ID</sup>, Mahmood Khosravi <sup>3</sup>

1- MA, Department of Physical Geography, Faculty of Geography and Environmental Planning, University of Sistan and Baluchestan, Zahedan, Iran  
deldar.zahed@yahoo.com

2- Associate Professor, Department of Physical Geography, Faculty of Geography and Environmental Planning, University of Sistan and Baluchestan, Zahedan, Iran  
p\_mahmoudi@gep.usb.ac.ir

3- Professor, Department of Physical Geography, Faculty of Geography and Environmental Planning, University of Sistan and Baluchestan, Zahedan, Iran  
khosravi@gep.usb.ac.ir

### Abstract

To recognize the Arabian Sea's moisture transfer mechanisms during the occurrence of pervasive drought and wet years in Iran, a standardized precipitation index (SPI) was applied to quantize Iran's droughts within the format of a monthly scale. Next, based on a spatial threshold, the drought or the wet years that had engaged about 75% or more of the studied stations (63 synoptic stations) within the period of a cold period (October-April) during 30 years (1986-2016) were defined as the pervasive drought or wet years. In the end, using atmospheric gridded variables, the various mechanisms of the Arabian Sea's moisture transfer were examined during the occurrence of Iran's pervasive drought and wet years. The results indicated that during winter, the Asian thermal high pressure reaches its strongest state, its western part is expanded, and, together with the Atlantic Ocean's dynamic high pressure, they capture the whole of central Asia, the Middle East, and northern Africa. Under these conditions, the high pressure established over the Saudi Arabian Peninsula takes a more western position and this new position disrupts moisture transfer from the Arabian Sea into Iran the result of which would be pervasive dry winters for Iran.

**Keywords:** Geopotential Height, Dynamical High Pressure, Thermal Low Pressure, Saudi Arabian Peninsula, Tibetan Plateau, Monsoon.

\*Corresponding Author

Deldarzehi, Z., Mahmoudi, P., & Khosravi, M. (2023). Arabian Sea's Moisture Transfer Mechanisms in pervasive dry and wet periods of Iran. *Geography and Environmental Planning*, 35 (1), 1 - 4 .



## Introduction

Due to the transfer of a large volume of moisture, the Arabian Sea and the Mediterranean Sea are amongst the most important moisture resources of Iran's precipitations. The Mediterranean Sea, during the early fall and late spring, and the Arabian Sea, as well, as during the other months of the year's cold periods, are at the top of the most significant moisture resources for supplying Iran with precipitations. The superior role of the Arabian and Mediterranean seas in the supplying of moisture to Iran's precipitations can stem from factors like their wide vastness and depth in contrast to the other water breadths. Considering the results of the studies during the recent several decades, appropriate knowledge on the identification of the synoptic patterns leading to Iran's drought and wet years in various temporal and spatial scales is obtained in this regard in Iran's climatological literature. However, even with such very rich literature, there are still ambiguities regarding the mechanisms of moisture transfer from the adjacent seas, especially the Indian Ocean and Arabian Sea at the time of the occurrence of pervasive drought and wet years. To fill the gap, the present study intends to investigate the synoptic reasons for the translocation of the cyclonic and anti-cyclonic circulation patterns over the Arabian Sea and north of the Indian Ocean at the time of the occurrence of the pervasive drought and wet years in Iran.

## Materials and Methods

To recognize the Arabian Sea's moisture transfer mechanisms during the occurrence of pervasive drought and wet years in Iran, two different databases were used. The first belongs to the monthly precipitation data recorded in 63 synoptic stations for 30 years (1986-2016) and obtained from Iran's meteorological organization. The second database, as well, is pertinent to the atmospheric gridded variables recorded in the form of monthly monitoring and acquired from the European Center for Medium-Range Weather Forecast (ECMWF). After collecting the data and forming an information bank, a standardized precipitation index (SPI) was applied to quantize Iran's droughts within the format of a monthly scale. Next, based on a spatial threshold, the drought or the wet years that had engaged about 75% or more of the studied stations (63 synoptic stations) within a cold period (October-April) during 30 years (1986-2016) were defined as the pervasive drought or wet years. In the end using atmospheric gridded variables, the various mechanisms of the Arabian Sea's moisture transfer were examined during the occurrence of Iran's pervasive drought and wet years.

## Research Findings

During fall, the delay in the translocation of southward monsoon low pressure in southern Asia causes its western part to be expanded over the Arabian Sea. This expansion causes dislocation of westward high pressure situated over the Saudi Arabian Peninsula and the moisture transfer from this sea into Iran is resultantly disrupted leading to pervasive droughts in Iran. But, when the South Asian monsoon low pressure is located in a more southern situation, the expansion of its western part is reduced and the high pressure located over the Saudi Arabian peninsula moves to the coasts of the Arabian Sea with a little eastward dislocation. Under such circumstances, the whole Arabian Sea is overwhelmed by this high pressure and its moisture enters Iran through the Saudi Arabian Peninsula's moisture canal. Nevertheless, Iran's pervasive drought and wet years during winter are a function of the jigsaw behavior between Asia's thermal high pressure and the Atlantic Ocean's dynamic high pressure. When Asia's thermal high pressure reaches its strongest state, its western part is expanded and, along with the Atlantic Ocean's dynamical high pressure, spread over the entire Central Asia, the Middle East, and Northern Africa. Under these conditions, the high pressure situated over the Saudi Arabian Peninsula takes a more western position and this new location causes disruption in the

moisture transfer from the Arabian Sea into Iran and this ends in pervasive dry winters in Iran.

However, during some times when the Asian thermal high pressure is in its weakest state, the western part thereof would not have the spatial expansion it has to. In such a situation, the eastern part of the Atlantic Ocean's dynamic high pressure is corroborated and expanded. Such an expansion caused the high pressure situated over the Saudi Arabian Peninsula to move eastward and become established over the eastern coasts of the Saudi Arabian Peninsula. This new situation causes the transfer of moisture from the Arabian Sea into Iran to happen easily and the result would be pervasive wet winters for Iran.

But, during spring, Tibetan low pressure and the Atlantic Ocean's high pressure are the most important actors of climate in southwest Asia. Whenever the low pressure of the Tibetan plateau low pressure is strengthened and expanded over the eastern half of the Arabian Sea, the high pressure established over Saudi Arabia would be dislocated westward as a result of which pervasive droughts happen in Iran. However, when the Tibetan Plateau's low pressure is ameliorated and its western part distances away from the Arabian Sea, the Atlantic Ocean's dynamic high pressure is corroborated and its eastern part is expanded. This expansion causes the high pressure situated over the Saudi Arabian Peninsula to move eastward with its central core taking place over the western shores of the Arabian Sea under which conditions the whole Arabian Sea would be captured by this high pressure. This high pressure transfers the Arabian Sea's moisture through the Saudi Arabian Peninsula's moisture canal into Iran via a clockwise circulation. During the ending months of spring, as well, and with the northward dislocation of the tropical convergence belt and its establishment over southern Asia and also with the establishment of some parts of India's monsoon low pressure over the eastern half of the Arabian Sea, the moisture transfer from the Arabian Sea into Iran is practically decreased to a minimum.

### **Discussion of Results and Conclusion**

The results indicated that certain patterns play roles during every season in this sea's transferring of moisture. During fall, delay in the southward dislocation of southern Asia's monsoon low pressure causes the transfer of moisture from this sea into Iran to be disrupted the result of which would be pervasive droughts in Iran. During winter when the Asian thermal high pressure reaches its strongest state, its western part is expanded and, together with the Atlantic Ocean's dynamical high pressure, it captures the whole of central Asia, the Middle East, and northern Africa. Under these conditions, the high pressure established over the Saudi Arabian Peninsula takes a more western position and this new position disrupts moisture transfer from the Arabian Sea into Iran the result of which would be pervasive dry winters for Iran. During spring, the Tibetan low pressure and the Atlantic Ocean's high pressure are the most important players in the climate in southwest Asia. Whenever the western part of the Tibetan Plateau's low pressure is strengthened and expanded over the eastern half of the Arabian Sea, the high pressure established over Saudi Arabia is dislocated westward the result of which would be pervasive droughts for Iran.

## مقاله پژوهشی

# سازوکارهای انتقال رطوبت دریای عرب در خشکسالی‌ها و ترسالی‌های فراگیر ایران

Zahed Deldarzahi: دانش آموخته کارشناسی ارشد اقلیم‌شناسی، دانشکده جغرافیا و برنامه‌ریزی محیطی، دانشگاه سیستان و بلوچستان، زاهدان، ایران  
deldar.zahed@yahoo.com

پیمان محمودی<sup>\*</sup>، دانشیار اقلیم‌شناسی، گروه جغرافیای طبیعی، دانشکده جغرافیا و برنامه‌ریزی محیطی، دانشگاه سیستان و بلوچستان، زاهدان، ایران  
p\_mahmoudi@gep.usb.ac.ir

محمود خسروی: استاد اقلیم‌شناسی، گروه جغرافیای طبیعی، دانشکده جغرافیا و برنامه‌ریزی محیطی، دانشگاه سیستان و بلوچستان، زاهدان، ایران  
khosravi@gep.usb.ac.ir

### چکیده

پژوهش حاضر براساس یک آستانه فضایی، خشکسالی‌ها یا ترسالی‌هایی که حدود ۷۵ درصد و بیشتر ایستگاه‌های مطالعه شده (۶۳ ایستگاه همدید) را در دوره سرد سال (اکتبر-آوریل) و در بازه زمانی ۳۱ ساله (۱۹۸۶-۲۰۱۶) درگیر خود بودند به عنوان خشکسالی‌ها یا ترسالی‌های فراگیر تعریف شدند. در این پژوهش از متغیرهای شبکه‌بندی جویی همچون ارتفاع ژئوپتانسیل، چرخندگی نسبی، پوشش ابر پایین، پوشش ابر میانی و پوشش ابر بالا (أخذ شده از تازنامه مرکز اروپایی پیش‌بینی‌های میان‌مدت جویی ECMWF) استفاده و سازوکارهای مختلف انتقال رطوبت دریای عرب در زمان وقوع خشکسالی‌ها و ترسالی‌های فراگیر ایران نیز بررسی شده است. نتایج نشان داد که در هر فصل الگوهای خاصی در انتقال رطوبت این دریا نقش دارد. در فصل پاییز تأخیر در جابه‌جایی جنوب‌سوی کم ارتفاع مونسونی جنوب آسیا باعث می‌شود که انتقال رطوبت این دریا به داخل ایران مختل و درنهایت، منجر به خشکسالی‌های فراگیر ایران شود. در فصل زمستان زمانی که پر ارتفاع حرارتی آسیایی در قوی‌ترین حالت خود قرار می‌گیرد، زبانه غربی آن گسترش و با پر ارتفاع دینامیکی اقیانوس اطلس، کل آسیای مرکزی، خاورمیانه و شمال آفریقا را فرا می‌گیرند. در این شرایط پر ارتفاع مستقر بر روی شبکه جزیره عربستان، موقعیت غربی‌تری به خود می‌گیرد که این موقعیت جدید از طرفی، باعث اختلال انتقال رطوبت دریای عرب به داخل ایران می‌شود و از طرف دیگر، زمستان‌های خشک فراگیر را برای ایران به وجود می‌آورد. در فصل بهار کم ارتفاع تبت و پر ارتفاع اقیانوس اطلس مهم‌ترین بازیگران اقلیم جنوب‌غرب آسیا هستند. تقویت زبانه غربی کم ارتفاع فلات تبت و گسترش آن بر روی نیمه شرقی دریای عرب باعث جابه‌جایی غرب‌سوی پر ارتفاع مستقر بر روی عربستان می‌شود که نتیجه آن خشکسالی‌های فراگیر برای ایران خواهد بود.

واژه‌های کلیدی: ارتفاع ژئوپتانسیل، پر ارتفاع دینامیکی، کم ارتفاع حرارتی، شبکه جزیره عربستان، فلات تبت، مونسون.

\*نوسنده مسئول

دلاذرزهی، زاهد، محمودی، پیمان، خسروی، محمود. (۱۴۰۲). سازوکارهای انتقال رطوبت دریای عرب در خشکسالی‌ها و ترسالی‌های فراگیر ایران جغرافیا و برنامه‌ریزی محیطی، ۳۵ (۱)، ۴۵-۷۲.



## مقدمه

موقعیت جغرافیایی خاورمیانه به گونه‌ای است که در مرز بین دو اقلیم معتدل (مدیترانه‌ای) و خشک جهان قرار گرفته است. به همین دلیل، آن را مستعد وقوع خشک سالی‌های شدید و طولانی‌مدت کرده است ([Trewartha & Horn, 1980; Alpert et al., 2002; Hasanean & Almazroui, 2015](#)). از مهم‌ترین ویژگی‌های بارشی این سرزمین، تغییرپذیری برون سالانه زیاد آن است ([Lockwood, 1988](#)) که درنتیجه اندرکنش بین سیستم‌های همدید حاره‌ای-جنب حاره‌ای به وقوع می‌پیوندد ([Ziv, 2001; Knippertz, 2005; Ziv et al., 2005; De Vries et al., 2013; Martius et al., 2013](#)). محققان در مطالعات بسیاری به منشاء همدید بارش‌های خاورمیانه توجه کرده‌اند؛ به‌طوری که برخی از محققان در این مطالعات نشان داده‌اند که بارش‌های سالانه شرق مدیترانه با الگوهای همدید و بزرگ‌مقیاس جوی همبستگی ضعیفی دارد و یه شتر تحت تأثیر عوامل محلی و سیستم‌های همرفتی است ([Dayan & Sharon, 1980; Dayan et al., 2001; Kahana et al., 2002](#)). زیو و همکاران اظهار داشته‌اند که بارش‌های سالانه ممکن است ([Ziv et al., 2000; Cullen et al., 2002; Dunkeloh & Jacobbeit 2003; Raymond et al., 2018; Ghasemi & Khalili 2008; Eshel & Farrell 2014; Oikonomou et al., 2010; Tramblay & Hertig, 2018; Saaroni et al., 2019](#)).

ایران با وسعتی معادل ۱۶۴۸۱۹۵ کیلومتر مربع در بین عرض‌های جغرافیایی ۲۵ تا ۴۰ درجه شمالی و ۶۴ تا ۶۷ درجه طول شرقی در کمربند بیابانی نیمکره شمالی و در جنوب غرب آسیا واقع شده است. کوهساری ایران پیچیدگی‌های بسیار خاصی دارد که دلیل آن می‌تواند وجود دو رشته‌کوه مرتفع البرز و زاگرس در همسایگی دو بیابان بزرگ دشت لوت و دشت کویر در ایران مرکزی باشد. همچنین، این سرزمین با سه پهنه‌آبی و سیع، یعنی خلیج فارس (با ۹۲۲ کیلومتر طول خط ساحلی) و دریای عمان (با ۶۳۷ کیلومتر طول خط ساحلی) در جنوب و دریای خزر (با ۱۴۰۰ کیلومتر خط ساحلی) در شمال مرز مشترک دارد ([Heydarizad et al., 2018](#)). رشته‌کوه‌های البرز و زاگرس از مهم‌ترین بازیگران اقلیم‌شناسی ایران هستند؛ زیرا آنها مانع ورود توده‌های حامل رطوبت به داخل بخش‌های مرکزی فلات ایران می‌شوند که نتیجه آن کاهش میانگین بارش سالانه برای این قسمت از فلات مرکزی ایران است ([علیجانی، ۱۳۸۲، ص. ۲۱](#)). آب‌وهای ایران با توده‌هواهای مختلفی که از جانب شمال، غرب، جنوب غرب و جنوب شرق وارد می‌شوند، اثر می‌پذیرد. توده‌هواهای سرد قاره‌ای سبیری که از جانب شمال وارد ایران می‌شوند، با رشته‌کوه البرز متوقف و باعث ایجاد بارش‌های عظیمی (بیش از ۱۳۰۰ میلیمتر در سال) در امتداد نواحی ساحلی دریای خزر و شیب‌های شمالی رشته‌کوه البرز می‌شوند. این توده‌هواها، رطوبت دریای خزر را به سمت خشکی‌های ایران هدایت می‌کنند ([فتح‌نیا و همکاران، ۱۳۹۷؛ احمدی حجت و همکاران، ۱۳۹۲؛ عزیزی و یوسفی، ۱۳۸۴](#)). توده‌هواهای سودانی، جنوب و جنوب غرب ایران را تحت تأثیر قرار می‌دهند و رطوبت دریاهای عرب، سرخ، عمان و خلیج فارس را به سمت ایران انتقال می‌دهند ([علیجانی، ۱۳۸۲](#)). بعضی از اوقات توده‌هواهای سودانی با سامانه‌های مدیترانه‌ای ادغام و باعث

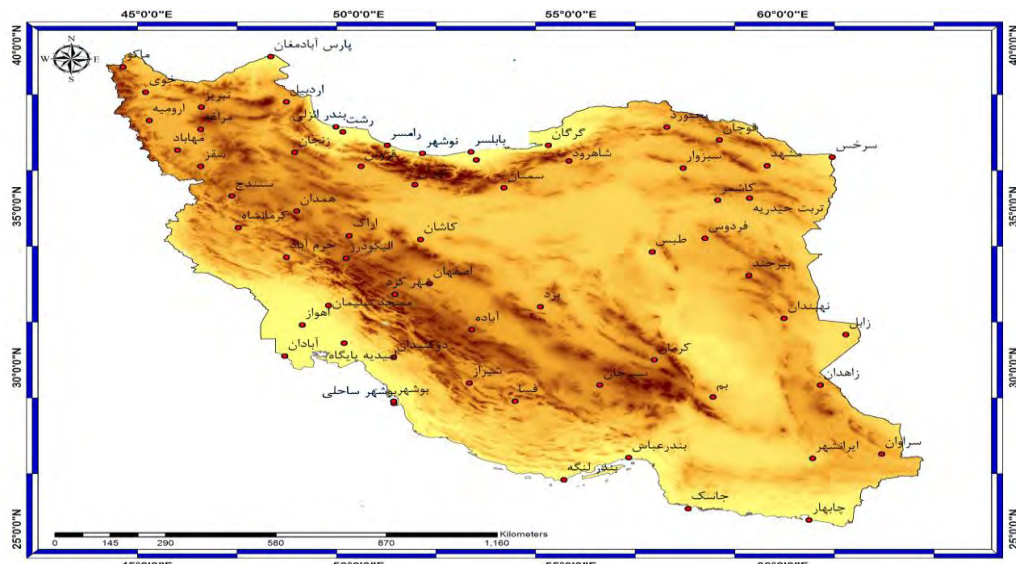
بارش‌های بسیار سنگین و سیلابی در جنوب و جنوب غرب ایران می‌شوند ([لشکری، ۱۳۸۱؛ مفیدی و زرین، ۱۳۸۴؛ پرک و همکاران، ۱۳۹۴؛ Sabziparvar et al., 2015](#)). سامانه‌هایی که بخش‌های غربی و شمال غربی ایران را متأثر می‌کنند در واقع، چرخندهایی هستند که از دریای مدیترانه، اقیانوس اطلس شمالی و دریای سیاه منشأ گرفته‌اند و حامل رطوبت بسیار فراوانی هستند. این چرخندها نقش بسیار برجسته‌ای را در ایجاد بارش و ابری شدن این منطقه از ایران دارند ([علیجانی، ۱۳۸۲؛ Sabziparvar et al., 2015](#)). علاوه‌بر سامانه‌های ذکر شده که در فصل مرطوب سال ایران را تحت تأثیر قرار می‌دهند، در فصل خشک سال، موز سون تابستانه هند، جنوب شرق ایران را متأثر می‌کند و با خود هوای گرم و مرطوب، بادهای قوی و بارش‌های سنگین را به همراه می‌آورد ([آب خرابات و همکاران، ۱۳۹۵؛ علیجانی و دوستان، ۱۳۹۱؛ رسولی و همکاران، ۱۳۹۱](#)). توزیع زمانی و فضایی بارش در ایران به‌دلایلی همچون گستردگی مساحت، تغییرات عرض جغرافیایی زیاد، کوه‌ساری پیچیده، نزدیکی به پهنه‌های آبی و سیع و منابع رطوبتی مختلف همراه با توده‌های هوای مؤثر بر آن بسیار متغیر است ([Modarres & Sarhadi, 2009](#)). مطالعات متعددی برروی تغییرات زمانی و فضایی بارش ایران انجام شده است ([علیجانی و همکاران، ۱۳۹۱؛ علیجانی و همکاران، Ghesmati et al., 2004؛ Modarres & Sarhadi, 2009؛ Rahimzadeh et al., 2009؛ Tabari & Talaee, 2011؛ ۱۳۹۳](#) [Balling et al., 2016؛ Rousta et al., 2016؛ Fallah Ghalhari et al., 2106؛ Javari, 2016](#)). اما مطالعاتی که در آن به صورت اختصاصی به تعیین منابع رطوبتی بارش‌های ایران ([خوشحال و همکاران، ۱۳۸۸؛ کریمی و فرج‌زاده، ۱۳۹۰؛ خدادی و همکاران، ۱۳۹۲؛ نوری و همکاران، ۱۳۹۲؛ خسروی و همکاران، ۱۳۹۶](#)) توجه شده باشد، بسیار کم است. [کریمی احمدآباد \(۱۳۸۶\)](#) در یک بررسی جامع نشان داد که دو دریای عرب و مدیترانه به‌علت تراپزید حجم بزرگی از رطوبت برروی ایران از مهمترین منابع رطوبتی بارش‌های ایران است. دریای مدیترانه در اوایل فصل پاییز و اوخر فصل بهار و دریای عرب نیز در دیگر ماه‌های دوره سرد سال در صدر مهم‌ترین منابع تأمین رطوبت بارش‌های ایران هستند. نقش برتر دریاهای عرب و مدیترانه در تأمین رطوبت بارش‌های ایران می‌تواند ناشی از عواملی همچون وسعت و عمق زیاد آنها در مقابل دیگر پهنه‌های آبی باشد؛ بنابراین باتوجه به اهمیت دریای عرب در تأمین رطوبت بارش‌های ایران، محققان بسیاری برروی شناسایی آرایش الگوهای همدید در انتقال رطوبت این دریا به داخل خشکی‌های ایران کار کرده‌اند ([خوشحال و همکاران، ۱۳۸۸؛ رنجبر سعادت آبادی و ایزدی، ۱۳۹۲؛ خدادی و همکاران، ۱۳۹۲؛ لشکری و محمدی، ۱۳۹۴؛ آب خرابات و همکاران، ۱۳۹۵؛ لشکری و همکاران، ۱۳۹۶؛ محمدی و لشکری، ۱۳۹۲؛ محمودی و همکاران \(۱۴۰۱\)](#) اشاره کرده‌اند که در زمان وقوع خشکسالی‌های فراگیر در دوره سرد سال ایران، همواره یک ناهنجاری ساعتگرد را برروی دریای عرب می‌توان مشاهده کرد. این ناهنجاری ساعتگرد باعث می‌شود که انتقال رطوبت دریای عرب که مهم‌ترین کننده رطوبت ایران در این ماه‌هاست، چهار اختلال شود. [محمودی و همکاران \(۱۴۰۱\)](#) با بررسی نقشه‌های ارتقایی ترازهای مختلف جو در ماه‌های تر فراگیر فصل زمستان ایران نشان داده‌اند که پرفشار عربستان همواره یک جابه‌جاوی شرق‌سو به سمت دریای عرب داشته است که این جابه‌جاوی باعث عمیق‌شدن فرود دریای مدیترانه می‌شود. در این شرایط رطوبت دریای عرب و دریای مدیترانه به‌طور همزمان، به داخل ایران تزریق می‌شود و سپس کل مساحت ایران را تحت تأثیر خود قرار می‌دهد؛ اما در خشکسالی

های فراگیر این ماهها، پرفشار عربستان با جابه‌جایی غرب سو و شمال سوی خود در شمال غرب شبه‌جزیره عربستان استقرار پیدا می‌کند. استقرار این پرفشار در این موقعیت باعث می‌شود که محور فرودهای دریای مدیترانه علاوه بر جابه‌جایی به سمت عرض‌های شمالی‌تر به سمت غرب نیز جابه‌جایی داشته باشد؛ بنابراین در این شرایط انتقال رطوبت دریای مدیترانه به عرض‌های شمالی‌تر ایران و رطوبت دریای عرب و دریای سرخ نیز به ایران منتقل نمی‌شود. کریمی و همکاران با دسته‌بندی بارش‌های ایران به سه دسته بارش‌های سبک (۱-۱۰ میلیمتر در روز)، بارش‌های متوسط (۱۰-۳۰ میلیمتر در روز) و بارش‌های سنگین (بیش از ۳۰ میلیمتر در روز) ارتباط آنها را با موقعیت جغرافیایی مرکز واچرخند دریای عرب برمی‌کردند. نتایج حاصل از این مطالعه نشان داد که در ۴۲ تا ۸۵ درصد از روزهای [Karimi et al., 2022](#) بارشی، واچرخند دریای عرب یا یک مرکز بسته دارد و یا با پرفشارهای سیبری و تبت ادغام می‌شود. همچنین، پیشینه فراوانی مراکز این واچرخند در روزهای بارشی مدنظر در ۴۱/۶۲ درصد موارد در سواحل شرقی شبه‌جزیره عربستان، شمال غرب دریای عرب و نیز در ترازهای پایین جو مشاهده شده است. این موقعیت جغرافیایی شرایط را برای بارش‌های سبک و متوسط ایران فراهم می‌کند؛ اما در هنگام وقوع بارش‌های سنگین در ایران، مرکز این واچرخند در سه تراز ۷۰۰، ۵۰۰ و ۸۵۰ هکتارپاسکال در سواحل شرقی شبه‌جزیره عربستان و غرب دریای عرب با یک جابه‌جایی غرب سو فعال‌تر می‌شود؛ بنابراین محققان پژوهش حاضر علاوه بر موقعیت جغرافیایی مرکز واچرخند عربستان در بارش‌های سنگین ایران بر ضخامتی از جو که این واچرخند در آن توسعه پیدا می‌کند نیز تأکید کرده‌اند.

با درنظرگرفتن نتایج مطالعاتی که در چند دهه اخیر بر روی شناسایی الگوهای همدید منجر به خشکسالی‌ها و ترسالی‌های ایران در مقیاس‌های زمانی و فضایی مختلف انجام شده است، اکنون دانش بسیار مناسبی در این زمینه و در پیشینه اقلیم‌شناسی ایران حاصل شده است؛ اما با داشتن این پیشینه بسیار غنی هنوز ابهام‌هایی درباره سازوکارهای انتقال رطوبت از دریاهای مجاور به خصوص اقیانوس هند و دریای عرب در زمان خشکسالی‌ها و ترسالی‌های فراگیر ایران وجود دارد که در این پژوهش قصد بر این است تا جابه‌جا شدن الگوهای گردشی چرخندی و واچرخندی بر روی دریای عرب و شمال اقیانوس هند در زمان وقوع خشکسالی‌ها و ترسالی‌های فراگیر ایران بررسی شود.

## داده‌ها و روش‌شناسی

برای شناخت سازوکارهای انتقال رطوبت دریای عرب در زمان خشکسالی‌ها و ترسالی‌های فراگیر ایران و در راستای رسیدن به هدف‌های اصلی پژوهش حاضر به دو پایگاه داده‌ای مختلف نیاز بود. پایگاه داده‌ای اول مربوط به داده‌های بارش ماهانه ۶۳ ایستگاه همدید برای یک دوره ۳۱ ساله (۱۹۸۶-۲۰۱۶) است که از سازمان هواشناسی کشور دریافت شد. علت انتخاب این تعداد ایستگاه، طول دوره آماری مناسب و پراکنش مناسب مکانی آنها بوده است. این داده‌ها آمار کامل و مطمئنی دارند که اندک خلاً آماری آنها با استفاده از روش همبستگی و رگرسیون خطی کلاسیک بازسازی شد. توزیع و پراکنش ایستگاه‌های مطالعه شده در گستره ایران در [شکل ۱](#) آورده شده است.



شکل ۱: نقشه موقعیت و پراکنش جغرافیایی ایستگاه‌های مطالعه شده (منبع: نویسنده‌گان، ۱۴۰۰)

Figure 1: Situation and geographical distribution map of the studied stations

پایگاه داده‌ای دوم متغیرهای شبکه‌بندی شده جوی ارتفاع ژئوپتانسیل، رطوبت و بیزه، چرخندگی نسبی، پوشش ابر پایین، پوشش ابر میانی و پوشش ابر بالاست که تمامی آنها از تارنمای مرکز اروپایی پیش‌بینی‌های میان مدت جوی استاندارد شده (<https://www.ecmwf.int>) (European Centre for Medium-Range Weather Forecasts) به آدرس <https://www.ecmwf.int> به صورت دیده‌بانی‌های ماهانه اخذ شد.

بعد از جمع‌آوری داده‌های لازم از پایگاه‌های داده‌ای مختلف و تشکیل بانک اطلاعاتی آنها از شاخص بارش استاندارد شده ([McKee et al., 1993, 1995](#)) (SPI) (Standardized Precipitation Index) که یکی از شاخص‌های پیشنهادی سازمان هواشناسی جهانی (WMO) (World Meteorological Organization) است، استفاده شد. در پژوهش حاضر شاخص بارش استاندارد شده برای تمامی ایستگاه‌های مطالعه شده در مقیاس زمانی ماهانه (SPI) محاسبه و در مرحله بعد خشکسالی‌ها و ترسالی‌های ایران براساس یک معیار فضایی به سه دسته تقسیم شد ([محمودی و همکاران، ۱۴۰۱‌الف؛ محمودی و همکاران، ۱۴۰۱‌ب](#)).

- خشکسالی‌های (ترسالی‌های) محلی: خشکسالی‌هایی (ترسالی‌هایی) هستند که حدود ۲۵ درصد و کمتر از ایستگاه‌های مورد مطالعه درگیر خشکسالی (ترسالی) شده باشند.
- خشکسالی‌های (ترسالی‌های) نیمه فراگیر: خشکسالی‌هایی (ترسالی‌هایی) هستند که حدود ۲۵ تا ۷۵ درصد ایستگاه‌های مورد مطالعه درگیر خشکسالی (ترسالی) شده باشند.
- خشکسالی‌های (ترسالی‌های) فراگیر: خشکسالی‌هایی (ترسالی‌هایی) هستند که حدود ۷۵ درصد و بیشتر از ایستگاه‌های مورد مطالعه درگیر خشکسالی (ترسالی) شده باشند.

اساس تقسیم‌بندی خشکسالی‌ها به سه دسته اشاره شده براساس چارک‌ها بوده است. در آمار توصیفی به هریک از سه مقداری که یک مجموعه از داده‌های مرتب شده را به چهار بخش مساوی تقسیم می‌کند، چارک گفته می‌شود.

دردامه، با مشخص شدن ماههای خشک و تر فراگیر ایران، سازوکارهای همدید انتقال رطوبت دریای عرب در زمان وقوع خشکسالی‌ها و ترسالی‌های فراگیر ایران در قالب تحلیل‌های همدید بررسی می‌شود.

### یافته‌های پژوهش و تجزیه و تحلیل

#### تعیین ماههای تر و خشک فراگیر ایران

در پژوهش حاضر از شاخص بارش استاندارد شده (SPI) که یک ابزار بسیار قوی در تحلیل داده‌های بارش است، استفاده شده است. هدف اصلی این شاخص اختصاص یک ارزش عددی به هر حادثه بارندگی در مقیاس‌های زمانی مختلف (ماهانه، فصلی و سالانه) است تا بتوان براساس آن، نواحی با آب‌وهواهای به طور کامل متفاوت را با یکدیگر مقایسه کرد؛ بنابراین از شاخص بارش استاندارد شده (SPI) در کل ایستگاه‌های مطالعه شده و نیز در مقیاس زمانی ماهانه استفاده شد. سپس براساس معیار فضایی تعریف شده در بخش داده‌ها و روش شناسی، ماههایی که ۷۵ درصد و بیشتر ایستگاه یکی از طبقات مختلف خشکسالی یا ترسالی را تجربه کرده باشند، به عنوان ماههای همراه با خشکسالی‌ها و ترسالی‌های فراگیر شناسایی شدند. در جدول ۱ به تکییک ماههای همراه با خشکسالی‌ها و ترسالی‌های فراگیر همراه با سال وقوع آنها آورده شده است. در این جدول بهروشی مشخص می‌شود که احتمال وقوع خشکسالی‌های فراگیر بسیار بیشتر از ترسالی‌های فراگیر است. ماههای دسامبر و آوریل با ۱۴ و ۱۳ رخداد بیشترین و ماههای می، اکتبر و مارس با ۸ و ۴ رخداد کمترین فراوانی وقوع خشکسالی‌های فراگیر را داشته‌اند ([جدول ۱](#)). به شرین فراوانی وقوع ترسالی‌های فراگیر نیز با ۴ رخداد مربوط به ماههای اکتبر، نوامبر، ژانویه و آوریل بوده است. دو ماه مارس و فوریه نیز با ۱ رخداد کمترین فراوانی وقوع ترسالی‌های فراگیر را داشته است ([جدول ۱](#)).

**جدول ۱: ماههای همراه با خشکسالی و ترسالی فراگیر برای دوره ۱۹۸۶-۲۰۱۶**

Table 1: Months with pervasive drought and wet years for the period 1986-2016

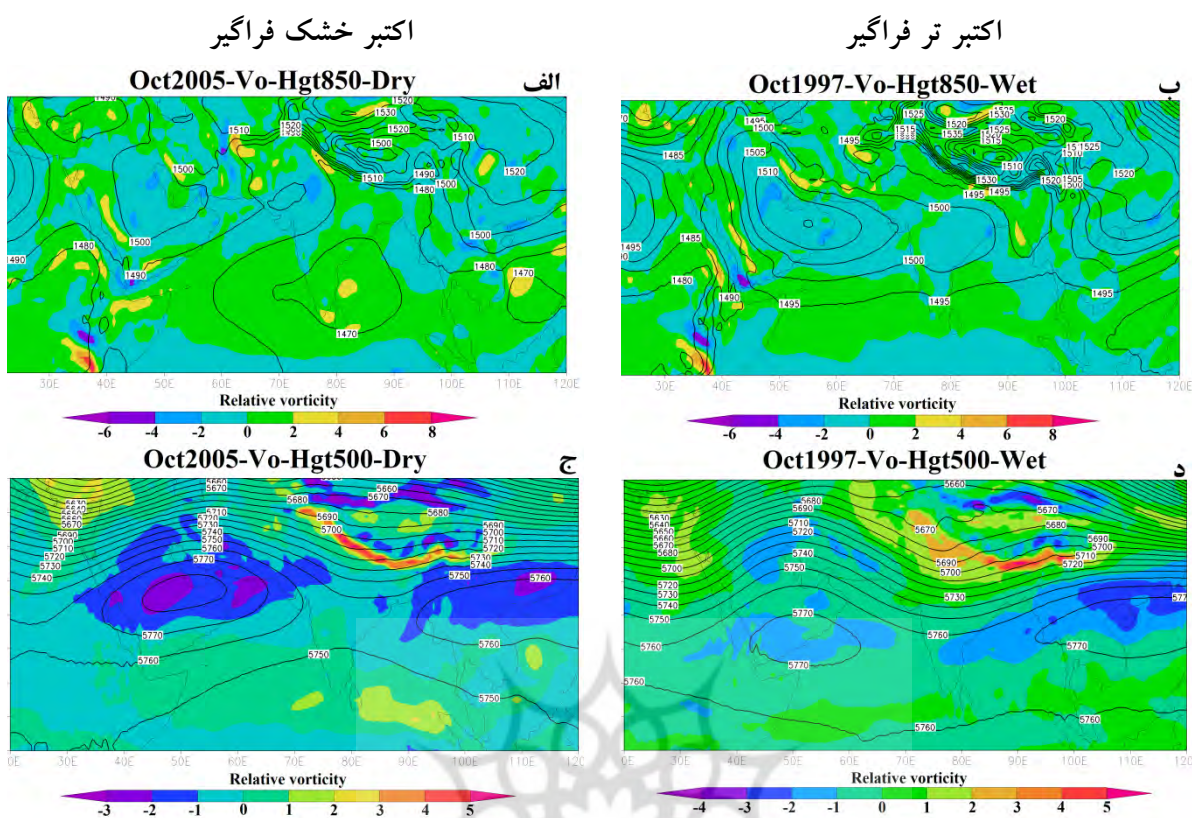
	۱	۲	۳	۴	۵	۶	۷	۸
خشکسالی	1992 2005 2007	1995 1998 2010	2010 2011	1986 1994 2014	2015	2007	1999 2000 2014	1987 1999
ترسالی	1987 1994 1997 2000 2011 2012 2014 2015	1986 1993 1994 1997 2000 2002 2004 2006	1986 1987 1989 1991 1992 1997 2000 2001	1987 1991 1995 1997 1998 1999 2003 2004	1987 1988 1990 1992 1995 1997 1999 2002	1986 1988 1990 1992 1995 1997 2002 2006	1987 1991 1992 1994 1995 2001 2002 2003	1991 1993 2003 2009 1995 2001 2002 2005 2006 2008 2009 2015

منبع: نویسنده‌گان، ۱۴۰۰

## سازوکارهای انتقال رطوبت دریای عرب در زمان وقوع خشکسالی‌ها و ترسالی‌های فراگیر فصل پاییز

با بررسی نقشه‌های میانگین ماهانه ارتفاع ژئوپتانسیل تراز ۸۵۰ هکتوپاسکال برای اکتبرها و نوامبرهای همراه با خشکسالی‌ها و ترسالی‌های فراگیر ایران مشاهده شد که در ماه‌های خشک فراگیر فصل پاییز همواره یک سلول کم ارتفاع را با چرخندگی مثبت در شرق سواحل شبهقاره هندوستان ببروی اقیانوس هند می‌توان مشاهده کرد. این سلول کم ارتفاع که درواقع، همان سامانه مونسونی جنوب آسیاست، صرف نظر از اینکه تمام شبهقاره هندوستان را تا جنوب رشته‌کوه‌های هیمالیا دربرگرفته، زبانه غربی آن کل دریای عرب و قسمت‌هایی از نیمه شرقی ایران را نیز احاطه کرده است. در نقطه مقابل این سامانه کم ارتفاع، یک سامانه پر ارتفاع (با چرخندگی منفی) گسترشده با دو هسته مرکزی یکی ببروی فلات تبت و دیگری ببروی شبهجزیره عربستان را می‌توان مشاهده کرد که هسته واقع ببروی شمال غرب شبه جزیره عربستان، نیمه غربی ایران، دریای عمان، خلیج فارس و کل شبهجزیره عربستان را تا سواحل عدن دربرمی‌گیرد.

در شکل ۲ (الف) نقشه ارتفاع ژئوپتانسیل تراز ۸۵۰ هکتوپاسکال همراه با چرخندگی نسبی در اکتبر سال ۲۰۰۵ به عنوان نمونه‌ای از ماه‌های خشک فراگیر فصل پاییز آورده شده است. در تراز ۵۰۰ هکتوپاسکال نیز مشاهده شد که هسته‌ای از پر ارتفاع جنوب حاره‌ایی با چرخندگی منفی ببروی جنوب غرب آسیا واقع شده است. این هسته پر ارتفاع باعث شده است که کل اقیانوس هند غربی، دریای عرب، شبهجزیره عربستان و قسمت‌هایی از نیمه جنوبی ایران زیر تسلط آن باشد (شکل ۲ (ج)). نکته بسیار مشهود درباره این پر ارتفاع، استقرار شمال‌سوی آن است. قرارگیری هسته این پر ارتفاع در عرض‌های جغرافیایی بالاتر باعث می‌شود که یک فراز عمیقی ببروی ایران شکل بگیرد؛ اما در نقشه‌های مربوط به ماه‌های تر فراگیر مشاهده شد که سامانه کم ارتفاع (با چرخندگی مثبت) واقع در سواحل شرقی اقیانوس هند به طور کامل، تضعیف شده است؛ به طوری که هسته مرکزی آن با یک جابه‌جایی جنوب‌سو در جنوب شبهقاره هندوستان قرار می‌گیرد. علاوه‌بر این جابه‌جایی از گستردگی زبانه غربی آن نیز به شدت کاسته شده است. تضعیف و جابه‌جایی جنوب‌سوی این سامانه کم ارتفاع باعث تقویت و جابه‌جایی پر ارتفاع مستقر ببروی شبهجزیره عربستان می‌شود؛ به طوری که هسته مرکزی آن ببروی سواحل شرقی شبهجزیره عربستان قرار می‌گیرد. در چنین شرایطی کل ایران، دریای عرب و نیمه شمالی و مرکزی شبهقاره هند زیر سلطه این پر ارتفاع قرار می‌گیرند (شکل ۲ (ب)). در تراز ۵۰۰ هکتوپاسکالی الگوهای فضایی ماه‌های تر و خشک فراگیر به طور تقریبی، مشابه یکدیگر است. تنها تفاوتی که در الگوهای فضایی ماه‌های تر و خشک فراگیر در این تراز مشاهده می‌شود، این است که ماه‌های تر فراگیر پر ارتفاع واقع ببروی شبهجزیره عربستان در مقایسه با ماه‌های خشک فراگیر موقعیت جنوبی‌تری و هسته مرکزی آن ببروی شبه جزیره عربستان قرار دارد (شکل ۲ (د)).

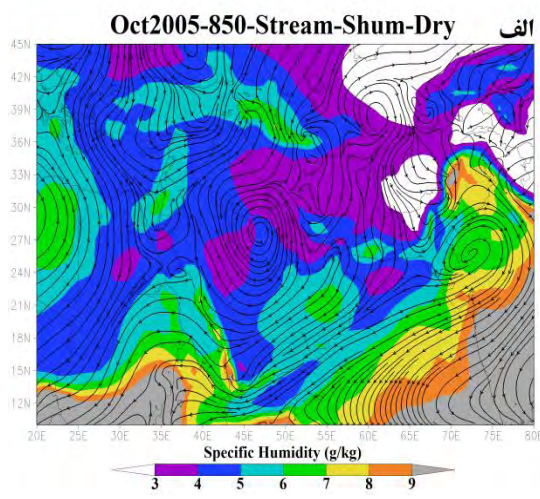


شکل ۲: نقشه‌های ترکیبی ارتفاع ژئوپتانسیل (پربندها) و چرخندگی نسبی (مناطق رنگی) برای ترازهای ۸۵۰ و ۵۰۰ هکتوپاسکال برای اکتبرهای خشک و تر فراگیر. (الف) اکتبر ۲۰۰۵ به عنوان یک اکتبر خشک فراگیر و (ب) اکتبر ۱۹۹۷ به عنوان یک اکتبر تر فراگیر (منبع: نویسندهان، ۱۴۰۰)

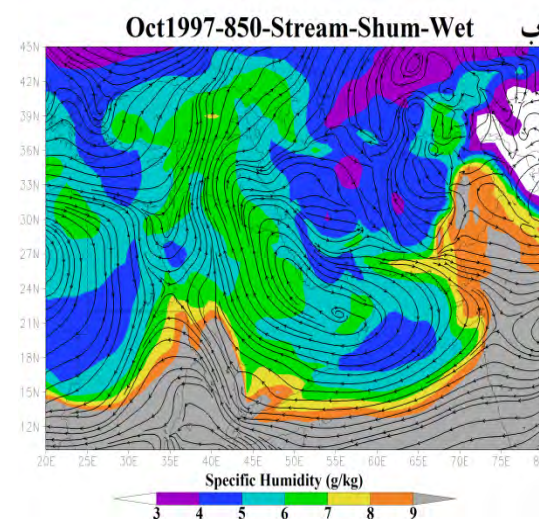
Figure 2: Composite maps of geopotential height (contour) and relative vorticity (color) for 850 and 500 hPa levels for pervasive wet and dry octobers. (a) october 2005 as a pervasive dry october and (b) october 1997 as a pervasive wet october

باتوجه به آرایش الگوهای ارتفاع ژئوپتانسیل در ترازهای مختلف جوی در زمان وقوع خشکسالی‌ها و ترسالی‌های فراگیر ماههای فصل پاییز، میزان رطوبت ویژه جو ایران در هر دو شرایط تر و خشک فراگیر در تراز ۸۵۰ هکتوپاسکال (شکل ۳ الف و ب) برای دو اکتبر ۱۹۹۷ و ۲۰۰۵ به عنوان یک اکتبر خشک فراگیر و یک اکتبر تر فراگیر آورده شده است. این نقشه‌ها که همراه با خطوط جریان هستند، جو خشک ایران را در اکتبرهای خشک فراگیر به روشنی نشان می‌دهند (شکل ۳). خطوط جریان در اکتبر تر ۱۹۹۷ یک چرخش واچرخدنی عظیم را بر روی دریای عرب نشان می‌دهد که مرکز آن بر روی سواحل شرقی شبه‌جزیره عربستان قرار گرفته است. این چرخش واچرخدنی عظیم همراه با فرود دریای سرخ با کanal رطوبتی شبه‌جزیره عربستان، رطوبت را به داخل ایران انتقال می‌دهد؛ اما در اکتبر سال ۲۰۰۵ به عنوان یک ماه خشک فراگیر مشاهده می‌شود که مرکز این چرخش واچرخدنی از شرق به غرب شبه‌جزیره عربستان جابه‌جا و از گستردگی آن بهشت کاسته شده است. این جابه‌جایی باعث شده است که انتقال رطوبت دریای عرب به داخل ایران نیز کاهش پیدا کند (شکل ۳الف).

## اکتبر خشک



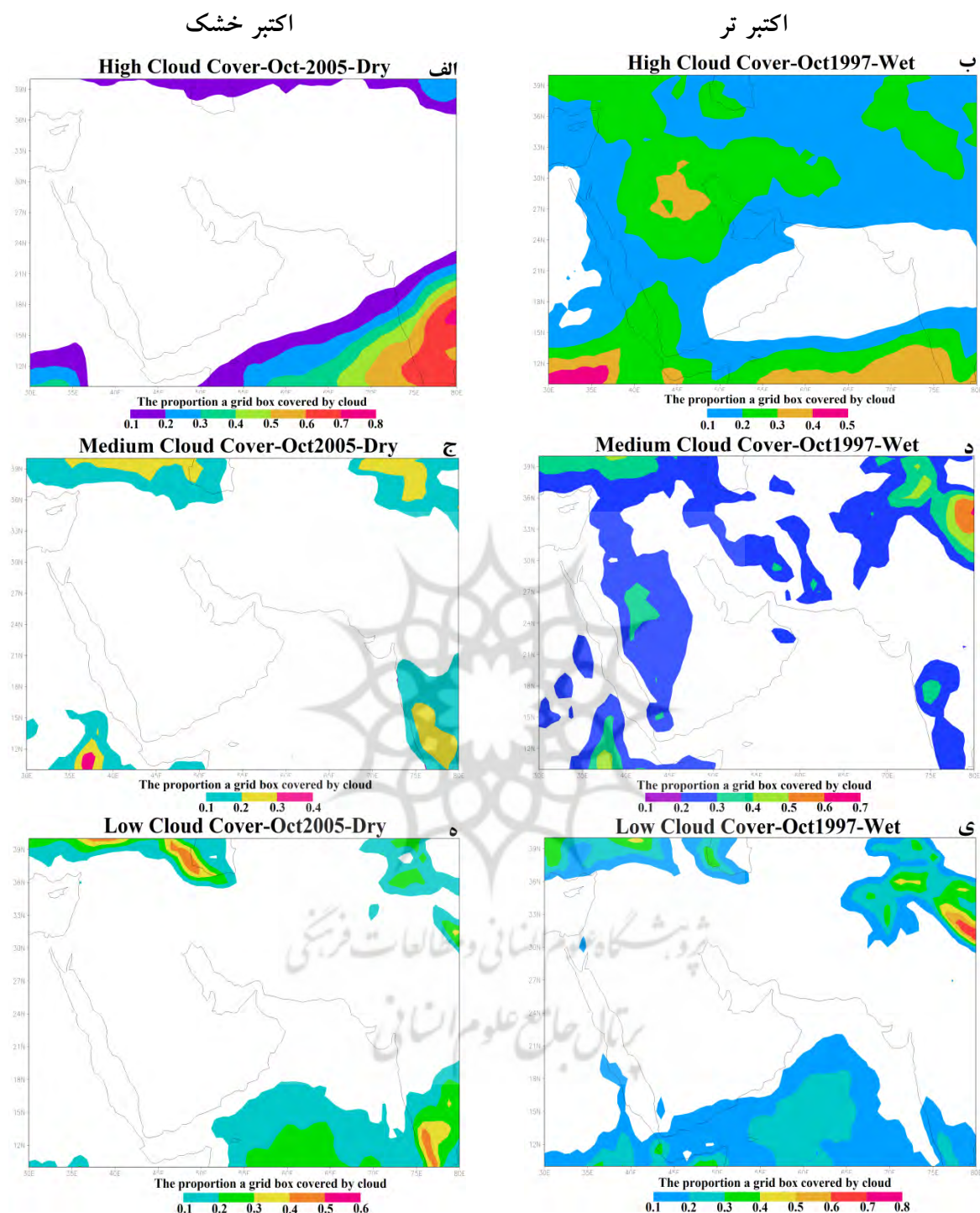
## اکتبر تر



شکل ۳: نقشه‌های ترکیبی رطوبت ویژه (مناطق رنگی) و خطوط جریان تراز ۸۵۰ هکتوپاسکال (پریندها) برای اکتبرهای خشک و تر فراگیر. (الف) اکتبر ۲۰۰۵ به عنوان یک اکتبر خشک فراگیر و (ب) اکتبر ۱۹۹۷ به عنوان یک اکتبر تر فراگیر (منبع: نویسنده‌گان، ۱۴۰۰)

Figure 3: composite maps of specific humidity (color) and stream line (contour) for 850 hpa levels for pervasive wet and dry octobers. (a) october 2005 as a pervasive dry october and (b) october 1997 as a pervasive wet october

در پژوهش حاضر برای درکی دقیق‌تر از انتقال رطوبت دریای عرب به داخل خشکی‌های ایران در ترازهای مختلف جو و در زمان وقوع خشکسالی‌ها و ترسالی‌های فراگیر از نقشه‌های پوشش ابر در سه سطح پایین، میانی و بالا استفاده شده است. همان‌گونه که در [شکل ۴](#) مشاهده می‌شود پوشش ابر در دو سطح پایین ([شکل ۴الف](#)) و میانی ([شکل ۴ج](#)) در ماه‌های خشک فراگیر و فقط در شمال غرب و سواحل جنوبی دریای خزر دیده می‌شود و در تراز بالا ([شکل ۴ه](#)) پوشش ابری را بر سطح خشکی‌های ایران نمی‌توان مشاهده کرد؛ بنابراین انتقال رطوبت به داخل ایران در زمان وقوع خشکسالی‌های فراگیر این فصل از جانب دریای عرب دچار مشکل شده است. به همین خاطر، تنها رطوبت دریای مدیترانه در این شرایط وارد ایران می‌شود؛ اما در اکتبرهای تر فراگیر بیشترین پوشش ابر متعلق به دو لایه میانی ([شکل ۴د](#)) و بالا ([شکل ۴الف](#)) جو بوده است. جدا از میزان پوشش ابر، نحوه آرایش پوشش ابرها در سطح‌های مختلف جو، مسیرهای ورودی رطوبت را به داخل ایران نیز نشان می‌دهد. این آرایش ابرها با الگوهای ارتفاع زئوپتانسیل در سطح‌های مختلف جوی انطباق کاملی دارد ([شکل ۴](#)).



شکل ۴: نقشه‌های ابر پوشش ابر در سه سطح پایین، میانی و بالا در زمان وقوع خشکسالی‌ها و ترسالی‌های فراگیر ایران. از بالا به پایین به ترتیب سطح بالا، میانی و پایین. پانل سمت چپ میزان پوشش ابر در اکتبر خشک فراگیر سال ۲۰۰۵ و پانل سمت راست میزان پوشش ابر در اکتبر تر فراگیر سال ۱۹۹۷ (منبع: نویسنده‌گان، ۱۴۰۰)

Figure 4: Cloud cover maps at the three levels of lower, middle and upper of atmosphere during the occurrence of pervasive dry and wet months in Iran. left panel, cloud cover in pervasive dry october 2005 and right panel, cloud cover in pervasive wet october 1997

با بررسی نقشه‌های ارتفاع ژئوپتانسیل در سه تراز  $850$  هکتوپاسکال (به عنوان نماینده ترازهای پایین و  $500$  هکتوپاسکال و نیز به عنوان نماینده ترازهای میانی جو) مشاهده شد زمانی که سامانه کم‌فشار مونسونی جنوب آسیا در فصل پاییز (اکتبر و نوامبر) با تراز  $850$  هکتوپا سکال و تأخیر زیاد، حرکت جنوب سوی خود را به سمت عرض‌های جغرافیایی پایین آغاز می‌کند زبانهٔ غربی آن در ترازهای پایین جو، کل غرب اقیانوس هند و دریای عرب را زیر سلطهٔ خود می‌آورد. در این شرایط هستهٔ پرارتفاع واقع ببروی شبه‌جزیره عربستان در یک جابه‌جایی غرب سو در شمال غرب شبه‌جزیره عربستان قرار می‌گیرد. در این شرایط، پرارتفاع کل نیمهٔ غربی ایران، خلیج فارس و شبه‌جزیره عربستان را تا خلیج عدن فرامی‌گیرد؛ بنابراین قرارگیری این دو سامانه یکی با چرخش پاد ساعتگرد و دیگری با گردش ساعتگرد ببروی اقیانوس هند و دریای عرب از طرفی، باعث می‌شوند که انتقال رطوبت دریای عرب و اقیانوس هند با شبه‌جزیره عربستان به داخل سرزمین ایران دچار مشکل شود و از طرف دیگر، باعث خشکسالی‌های فرآگیر فصل پاییز می‌شوند. علاوه بر این، استقرار پرفشار جنب حاره‌ای در تراز  $500$  هکتوپاسکال نیز (برروی نیمهٔ جنوبی ایران، غرب اقیانوس هند، دریای عمان و شبه‌جزیره عربستان) اجازه صعود هوا را در ترازهای پایینی جو ببروی غرب اقیانوس هند و دریای عرب نمی‌دهد؛ بنابراین در چنین شرایطی اگر انتقال رطوبتی به داخل ایران صورت گیرد، این انتقال در ارتفاعات پایین‌تر و در یک ضخامت کمتر از جو صورت می‌گیرد؛ اما در ماه‌های تر فرآگیر فصل پاییز (در تراز  $850$  هکتوپاسکال) سامانه کم‌فشار مونسونی جنوب آسیا در قالب کمریند هم‌گرایی حاره‌ایی، به موقع (قبل از اکتبر) به عرض‌های جغرافیایی پایین‌تر عقب‌نشینی می‌کند. این جابه‌جایی به موقع (قبل از اکتبر) باعث می‌شود که سامانهٔ پرارتفاع شبه‌جزیره عربستان در یک جابه‌جایی شرق سو ببروی ساحل شرقی شبه‌جزیره عربستان قرار گیرد و به طور کامل، غرب اقیانوس هند و دریای عرب را احاطه و با حرکت ساعتگرد رطوبت اقیانوس هند و دریای عرب را با شبه‌جزیره عربستان به داخل ایران انتقال دهد؛ چون در این شرایط (در تراز  $500$  هکتوپاسکال) یک پرارتفاع ببروی غرب اقیانوس هند و دریای عرب مستقر و سرانجام، رطوبت این دو پهنه‌ای در یک ضخامت بیشتر از جو زمین (از  $1000$  تا  $500$  هکتوپاسکال) به داخل خشکی‌های ایران منتقل می‌شود.

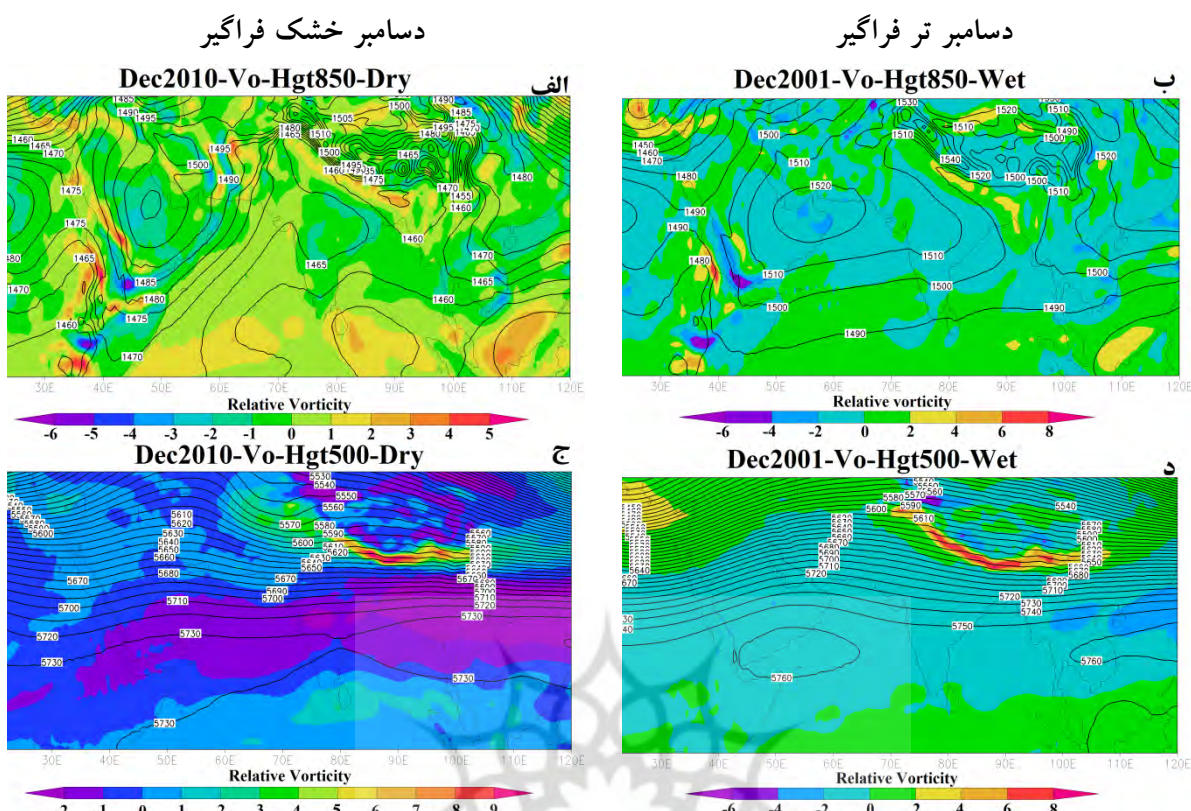
### سازوکارهای انتقال رطوبت دریای عرب در زمان و قوع خشکسالی‌ها و ترسالی‌های فرآگیر فصل زمستان

در ماه‌های فصل زمستان (دسامبر، ژانویه و فوریه) با اسقرار الگوهای فصل سرد سال ببروی جنوب غرب آسیا شاهد الگوهای به‌نسبت یکسانی ببروی دریای عرب و اقیانوس هند برای تمامی این سه ماه هستیم. در این فصل (در تراز  $850$  هکتوپاسکال) همواره می‌توان یک هستهٔ پرارتفاع ببروی آسیای مرکزی، یک هستهٔ پرارتفاع ببروی جنوب غرب آسیا و یک هستهٔ پرارتفاع دیگر را ببروی اقیانوس اطلس و شمال آفریقا با مقدار چرخدگی منفی مشاهده کرد. هستهٔ مرکزی سامانه آسیای مرکزی که درواقع، یک سامانهٔ پرارتفاع حرارتی است و از این به بعد با نام پرارتفاع آسیایی از آن نام برده می‌شود، ببروی سیری و هستهٔ مرکزی سامانه اقیانوس اطلس و شمال آفریقا که درواقع، یک سامانهٔ پرارتفاع دینامیکی است و از این به بعد با نام پرارتفاع اقیانوس اطلس از آن یاد خواهد شد، ببروی شرق اقیانوس اطلس

مستقر است. علاوه بر این، می‌توان مشاهده کرد که در فصل زمستان همواره یک هسته پرارتفاع دیگر با چرخندگی منفی بر روی شرق شبه‌جزیره عربستان در این تراز وجود دارد که می‌تواند هستهٔ فرعی یا ثانویه‌ای از پرارتفاع اقیانوس اطلس باشد که با زبانهٔ غربی آن تا این قسمت از جنوب غرب آسیا امتداد پیدا کرده است ([شکل ۵ الف و ب](#)).

با بررسی نقشه‌های ارتفاع ژئوپتانسیل تراز ۸۵۰ هکتوپاسکال تمامی ماههای تر و خشک فراغیر فصل زمستان ایران مشاهده شد که در ماههای خشک فراغیر، همواره یک پرارتفاع گستردگی و پیوسته که از کنار هم قرار گرفتن دو پرارتفاع آسیایی و اقیانوس اطلس شکل گرفته، سرتاسر آسیای مرکزی، خاورمیانه و شمال آفریقا را دربرگرفته است. در این شرایط کل اقیانوس هند غربی و دریای عرب نیز زیر تسلط این پرارتفاع (با چرخندگی منفی) قرار دارند. در این شرایط مشاهده می‌شود که پرارتفاع مستقر بر روی عربستان که وظیفه آن انتقال رطوبت دریای عرب به داخل خشکی‌های ایران است در مقایسه با ماههای تر فراغیر در یک موقعیت غربی‌تری بر روی شبه‌جزیره عربستان قرار دارد؛ اما پرارتفاع پیوسته و گستردگی که در ماههای خشک فراغیر تمامی آسیای مرکزی، خاورمیانه و شمال آفریقا را دربرگرفته بود، در ماههای تر فراغیر، دیگر مشاهده نمی‌شود. در ماههای تر فراغیر این فصل، پرارتفاع آسیایی و اقیانوس اطلس در حوالی دریای سرخ به دو سامانهٔ مجزا تقسیم می‌شوند. در این تقسیم‌بندی پرارتفاع مستقر بر روی شبه‌جزیره عربستان همراه با پرارتفاع آسیایی از پرارتفاع اقیانوس اطلس جدا می‌شود و موقعیت شرقی‌تری نسبت به ماههای خشک فراغیر به خود می‌گیرد ([شکل ۵ الف و ب](#)).

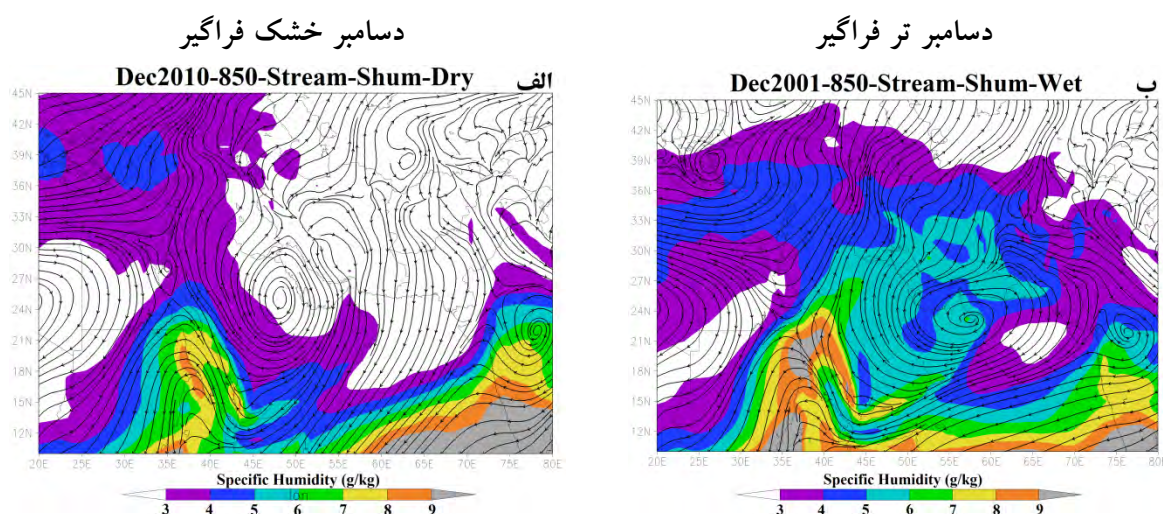
در تراز ۵۰۰ هکتوپاسکال و نیز در زمان وقوع ترسالی‌های فراغیر، یک هستهٔ پرارتفاع را با چرخندگی منفی بر روی جنوب شبه‌جزیره عربستان می‌توان مشاهده کرد ([شکل ۵ د](#)). این هستهٔ پرارتفاع در زمان وقوع خشکسالی‌های فراغیر مشاهده نمی‌شود ([شکل ۵ ج](#)). جدا از استقرار این هستهٔ پرارتفاع، مشاهده می‌شود که در زمان وقوع خشکسالی‌های فراغیر آرایش خطوط ارتفاع بادهای غربی در تراز ۵۰۰ هکتوپاسکال بر روی خاورمیانه به طور تقریبی، مداری است ([شکل ۵ ج](#)) در حالی که در زمان وقوع ترسالی‌های فراغیر این آرایش نصف‌النهاری می‌شود و در بیشتر مواقع نیز ایران در منطقهٔ هم‌گرایی بالایی آن قرار می‌گیرد ([شکل ۵ د](#)).



شکل ۵: نقشه‌های ترکیبی ارتفاع ژئوپتانسیل (پریندها) و چرخندگی نسبی (مناطق رنگی) برای ترازهای ۸۵۰ و ۵۰۰ هکتوپاسکال برای دسامبرهای خشک و تر فراگیر. (الف) دسامبر ۲۰۱۰ به عنوان یک دسامبر خشک فراگیر و (ب) دسامبر ۲۰۰۱ به عنوان یک دسامبر تر فراگیر (منبع: نویسندهان، ۱۴۰۰)

Figure 5: composite maps of geopotential height (contour) and relative vorticity (color) for 850 and 500 hpa levels for pervasive wet and dry decembers. (a) december 2010 as a pervasive dry december and (b) december 2001 as a pervasive wet december

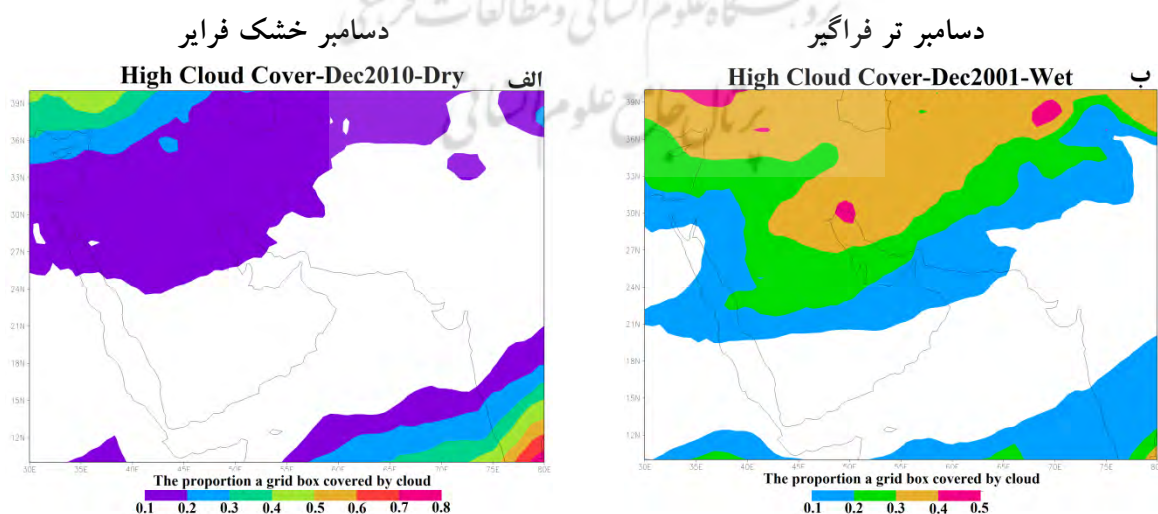
**شکل ۶** در قالب دو نقشه یکی مربوط به دسامبر ۲۰۱۰ (به عنوان نماینده‌ای از ماههای خشک فراگیر) (شکل ۶(الف)) و دیگری مربوط به دسامبر ۲۰۰۱ (به عنوان نماینده‌ای از دسامبرهای تر فراگیر) (شکل ۶(ب)) ارائه شده که در آن به محتوای رطوبتی فصل زمستان جنوب غرب آسیا و بهویژه ایران توجه شده است. همان‌گونه که در شکل ۶(الف) مشاهده می‌شود در ماههای خشک فراگیر محتوای رطوبتی جو ایران در تراز ۸۵۰ هکتوپاسکال در مقایسه با ماههای تر فراگیر بسیار اندک است. بالطفینان، این شرایط ناشی از آرایش الگوهای همدید در تراز ۸۵۰ هکتوپاسکال بر روی جنوب غرب آسیا بهویژه بر روی دریای عرب و غرب اقیانوس هند است (شکل ۶(الف)). خطوط جريان رسم شده در این نقشه‌ها به صورت مشخص نقش پرنگ استقرار پر ارتفاع واقع بر روی شبه‌جزیره عربستان را در انتقال رطوبت دریای عرب و اقیانوس هند بر روی ایران نشان می‌دهد (شکل ۶(ب)).

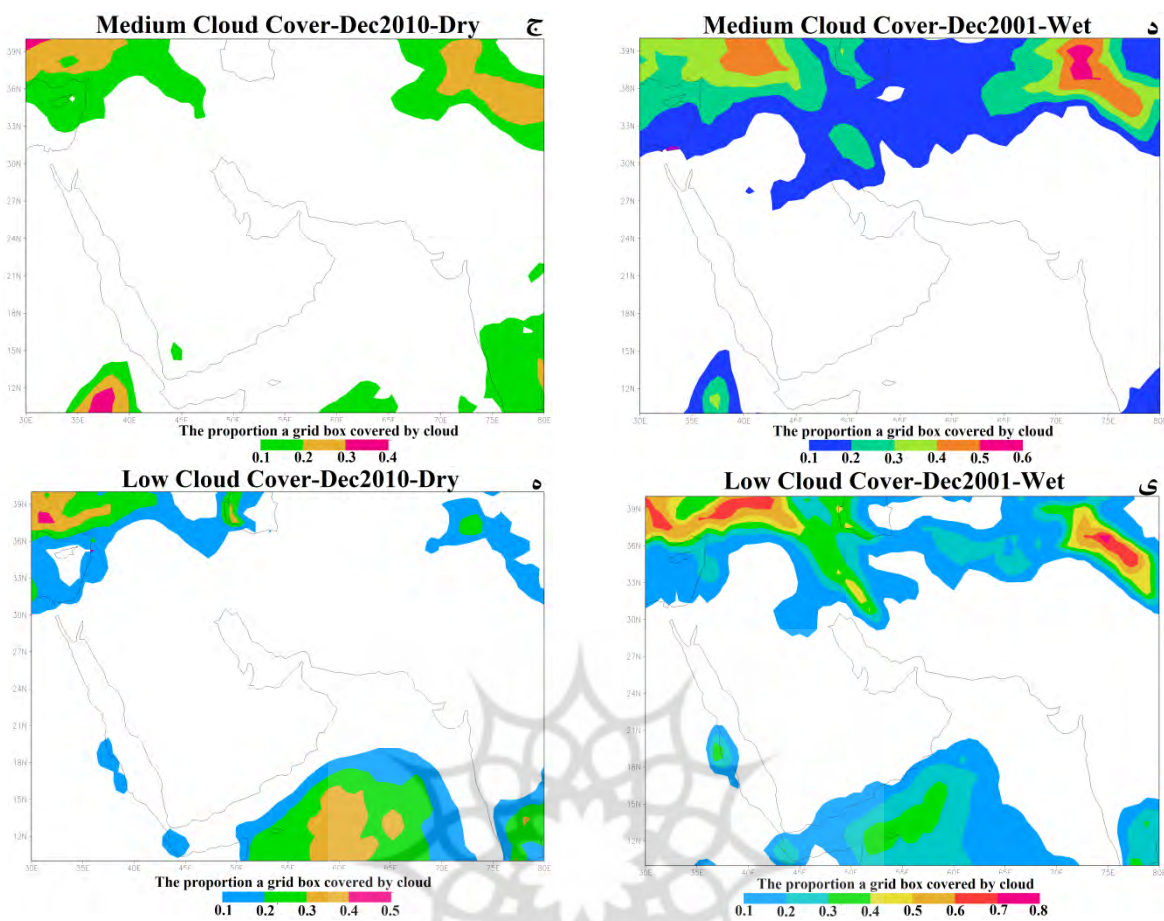


شکل ۶: نقشه‌های ترکیبی رطوبت ویژه (مناطق رنگی) و خطوط جریان تراز ۸۵۰ هکتوپاسکال (پربندها) برای دسامبرهای خشک و تر فرآگیر. (الف) دسامبر ۲۰۱۰ به عنوان یک دسامبر خشک فرآگیر و (ب) دسامبر ۲۰۰۱ به عنوان یک دسامبر تر فرآگیر  
(منبع: نویسنده‌گان، ۱۴۰۰)

Figure 6: Composite maps of specific humidity (color) and stream line (contour) for 850 hpa levels for pervasive wet and dry decembers. (a) december 2010 as a pervasive dry december and (b) december 2001 as a pervasive wet december

پوشش انواع مختلف ابر می‌تواند کمک‌کننده بسیار بزرگی در راستای درک سازوکارهای انتقال رطوبت دریای عرب و اقیانوس هند به داخل خشکی‌های ایران در زمان وقوع خشکسالی‌ها و ترسالی‌های فرآگیر ایران باشد. در دسامبرهای خشک فرآگیر تنها می‌توان ابرهای با سطح‌های بالا ([شکل ۷‌الف](#)) را در جو ایران ردیابی کرد؛ در حالی که در دسامبرهای تر فرآگیر علاوه بر ابرهای با سطح‌های بالا، می‌توان ابرهای با سطح‌های میانی و پایینی جو را نیز ردیابی کرد ([شکل ۷‌د، ب، ی](#)).





شکل ۷: نقشه‌های پوشش ابر در سه سطح پایین، میانی و بالا در زمان وقوع خشکسالی‌ها و ترسالی‌های فراگیر ماه دسامبر ایران. از بالا به پایین به ترتیب سطح بالا، میانی و پایین. پانل سمت چپ میزان پوشش ابر در دسامبر خشک فراگیر سال ۲۰۱۰ و پانل سمت راست میزان پوشش ابر در دسامبر تر فراگیر سال ۲۰۰۱ (منبع: نویسندهان، ۱۴۰۰)

Figure 7: Cloud cover maps at the three levels of lower, middle and upper of atmosphere during the occurrence of pervasive dry and wet months in Iran. left panel, cloud cover in pervasive dry december 2010 and right panel, cloud cover in pervasive wet december 2001

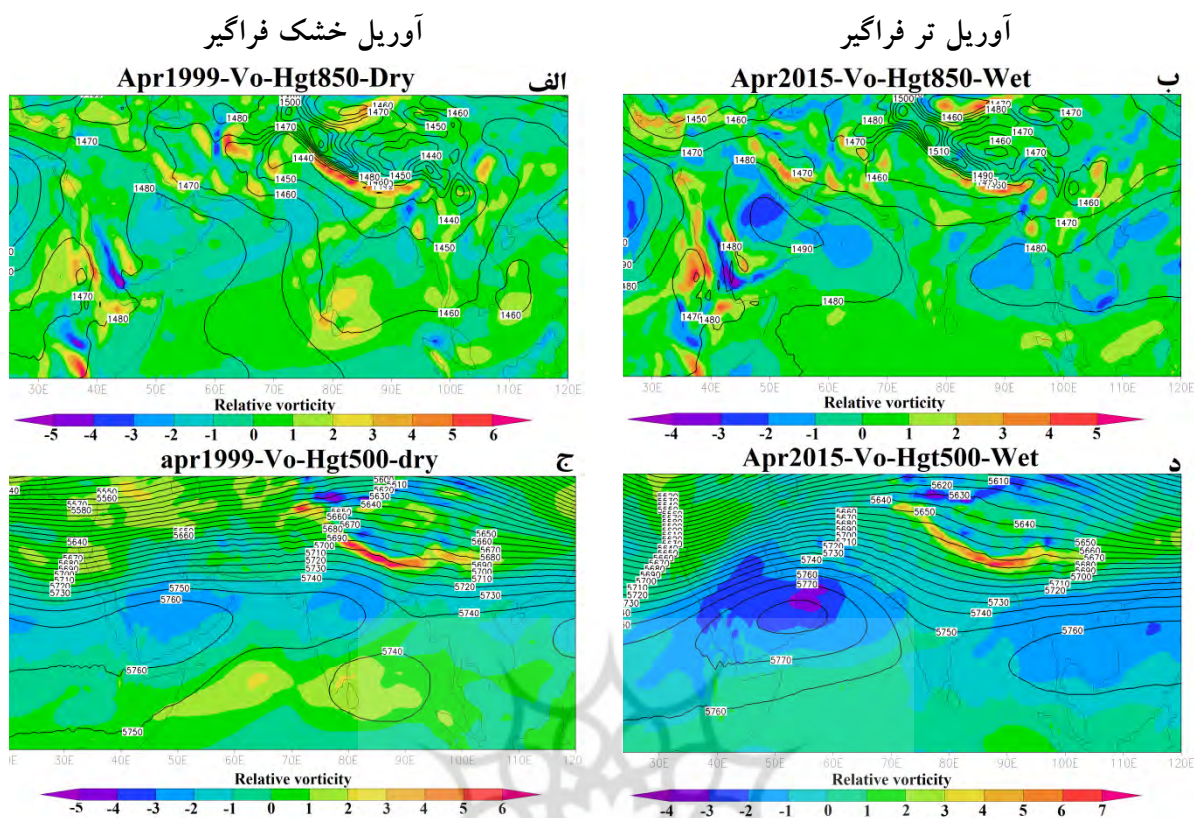
اکنون با بررسی نقشه‌های ارتفاع ژئوپتانسیل در ترازهای مختلف جوی می‌توان به سازوکارهای انتقال رطوبت دریای عرب و اقیانوس هند در زمان وقوع خشکسالی‌ها و ترسالی‌های فراگیر ماههای فصل زمستان پی‌برد. در زمان وقوع خشکسالی‌های فراگیر با کنار هم قرار گرفتن دو پرارتفاع آسیایی (پرارتفاع حرارتی) و اقیانوس اطلس (پرارتفاع دینامیکی) در تراز ۸۵۰ هکتوپاسکال، سرتاسر آسیای مرکزی، خاورمیانه و شمال آفریقا زیر سیطره یک سامانه پرارتفاع گسترشده و پیوسته قرار می‌گیرند. مرز شمالی این سامانه گسترشده و پیوسته، بخش‌های عظیمی از دریای مدیترانه را به خصوص نیمه جنوبی آن فرامی‌گیرد. گسترش زبانه شمالی این پرارتفاع بروی دریای مدیترانه جدا از اینکه باعث اختلال در فرآیند چرخندزایی دریای مدیترانه می‌شود، اجازه عمیق شدن امواج بادهای غربی را بروی دریای سرخ نمی‌دهد؛ بنابراین مهم‌ترین دلیلی که این دو پرارتفاع در ماههای خشک فراگیر فصل زمستان در کنار هم قرار می‌گیرند، جابه‌جایی شمال سوی پرارتفاع اقیانوس اطلس و گسترش زبانه شمالی آن بروی دریای مدیترانه است. اکنون سؤالی

که در اینجا باقی می‌ماند و باید به آن پاسخ داده شود، این است که حرکت شمال‌سوزی پرارتفاع اقیانوس اطلس و استقرار مرز شمالی آن چه تأثیری بر روی سازوکار انتقال رطوبت دریایی عرب و اقیانوس هند بر روی ایران دارد؟ در پاسخ به این سؤال باید اشاره شود زمانی که امواج بادهای غربی بر روی دریای سرخ عمیق نشود و به دنبال آن نتواند زبانه جنوبی خود را در قالب ناوه‌های عمیق به عرض‌های جغرافیایی پایین بکشد، پرارتفاع مستقر بر روی شبۀ جزیرۀ عربستان با یک جابه‌جایی غرب سو بر روی نیمة غربی شبۀ جزیرۀ عربستان قرار می‌گیرد و در این شرایط است که انتقال رطوبت دریایی عرب با کanal دریای سرخ دچار اختلال می‌شود. گفتنی است در این فصل با توجه به نقشه‌ای که [کریمی احمدآباد \(۱۳۸۶\)](#) درباره توزیع فضایی مهم‌ترین سطح‌های آبی در بارش‌های نواحی مختلف ایران در فصل زمستان در اختیار قرار داده است، مشاهده می‌شود که به جزء نواحی جنوب و جنوب شرق که منبع تأمین بارش‌های آن فقط دریای عرب گزارش شده است، در بقیه نواحی ایران، منبع اصلی تأمین رطوبت ایران ترکیب تؤمنان دریای عرب و مدیترانه با یکدیگر بوده است؛ اما در زمان وقوع ترسالی‌های فراگیر ایران مشاهده می‌شود که دو پرارتفاع آسیایی و اقیانوس اطلس که در زمان وقوع خشکسالی‌های فراگیر ماههای فصل زمستان به صورت یک پرارتفاع گسترده و پیوسته کل آسیای مرکزی، خاورمیانه و شمال آفریقا را دربرگرفته بودند، در ماههای تر فراگیر در حوالی دریای سرخ به دو سامانه پرارتفاع جدا از هم تقسیم می‌شوند. سامانه پرارتفاع اقیانوس اطلس در این ماهها یک جابه‌جایی جنوب سو به سمت عرض‌های جغرافیایی پایین داشته است و هسته مرکزی آن بر روی شرق اقیانوس اطلس قرار می‌گیرد. با این جابه‌جایی مرز شمالی پرارتفاع اقیانوس اطلس از روی دریای مدیترانه خارج و سپس شرایط بهینه مدیترانه، باید به عمیق‌شدن امواج بادهای غربی بر روی دریای مدیترانه نیز توجه ویژه‌ای کرد؛ بنابراین یکی از مهم‌ترین دلایلی که باعث می‌شود دو پرارتفاع آسیایی و اقیانوس اطلس از یکدیگر منفك شوند، عمیق‌شدن ناوه دریای مدیترانه و امتداد زبانه جنوبی آن تا جنوب دریای احمر است. با این توضیحات اکنون می‌توان دلیل جابه‌جایی شرق‌سوزی پرارتفاع عربستان را در ماههای تر فراگیر فصل زمستان تبیین کرد. عمیق‌شدن ناوه دریای مدیترانه و امتداد زبانه جنوبی آن تا جنوب دریای احمر باعث می‌شود که دو پرارتفاع آسیایی و اقیانوس اطلس از یکدیگر منفك شوند. این انفکاک باعث می‌شود پرارتفاع مستقر بر روی عربستان با یک جابه‌جایی شرق سو به نیمه شرقی شبۀ جزیرۀ عربستان انتقال داده و شرایط نیز برای انتقال رطوبت به داخل ایران به بهترین نحو ممکن فراهم شود؛ اما همان‌گونه که پیشتر از این به صراحت اشاره شد، دریای مدیترانه نقش بزرگی در انتقال رطوبت دریایی عرب به داخل ایران دارد؛ بنابراین باید از آن غافل بود.

### سازوکارهای انتقال رطوبت دریای عرب در زمان وقوع خشکسالی‌ها و ترسالی‌های فراگیر فصل بهار

در فصل بهار (مارس، آوریل و می) که فصل گذار از دوره سرد سال به دوره گرم سال در جنوب غرب آسیاست، ماهیت بسیاری از سامانه‌های همدید به خصوص پرارتفاع آسیایی که یک سامانه‌ای با ماهیت حرارتی است، تغییر پیدا می‌کند. در این فصل با جابه‌جایی خورشید از نیمکره شمالی به نیمکره جنوبی به نیمکره شمالی و گرم‌شدن تدریجی سطح زمین، علاوه

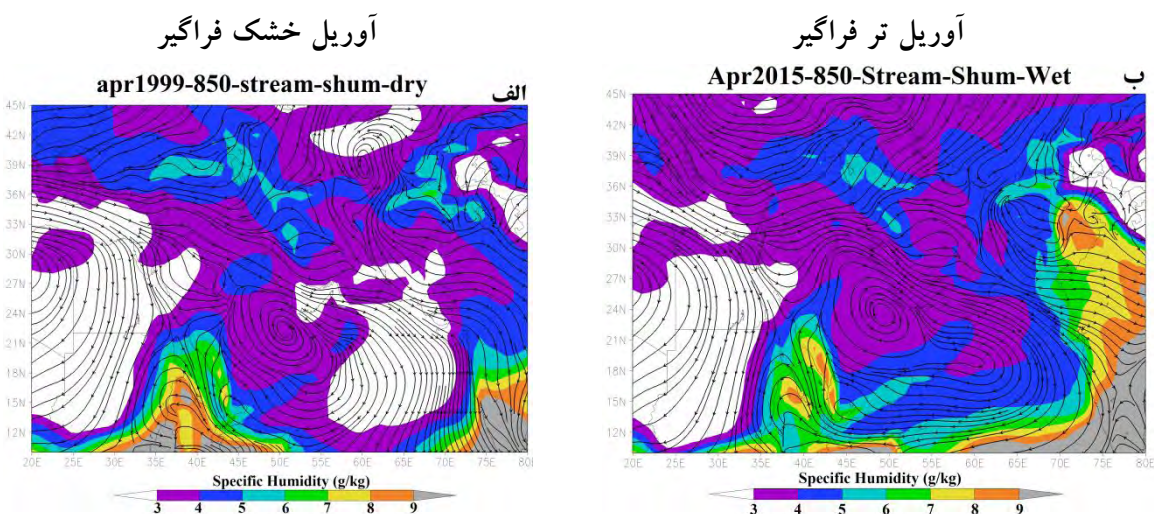
بر جابه‌جایی شمال‌سوی پرفشار جنب حاره و کمربند هم‌گرایی حاره‌ایی به عرض‌های جغرافیایی بالاتر، سامانه پرارتفاع آسیایی (سیبری) نیز تضعیف می‌شود و ازین می‌رود. با بررسی نقشه‌های ارتفاع ژئوپتانسیل تراز ۸۵۰ هکتوپا سکال در تمامی ماههای تر و خشک فراگیر فصل بهار مشاهده شد که تعاملی الاکلنگی بین پرارتفاع اقیانوس اطلس و کمارتفاع فلات تبت در جابه‌جایی پرارتفاع عربستان در جنوب غرب آسیا وجود دارد. زمانی که کمارتفاع فلات تبت در و ضعیت تضعیف شده‌ای قرار می‌گیرد و از گسترش زبانه غربی آن کا سته می‌شود، پرارتفاع اقیانوس اطلس امکان گسترش زبانه شرقی خود را بروی جنوب غرب آسیا پیدا می‌کند. این گسترش باعث جابه‌جایی شرق سوی پرارتفاع عربستان می‌شود؛ به‌طوری که این جابه‌جایی سبب می‌شود که پرارتفاع عربستان بروی شرق شبه‌جزیره عربستان و غرب دریای عرب قرار گیرد. در این شرایط کل دریای عرب و غرب اقیانوس هند زیر سیطره این پرارتفاع قرار می‌گیرند؛ بنابراین این پرارتفاع با گردش ساعتگرد (موافق عقره‌های ساعت) خود رطوبت دریای عرب و اقیانوس هند را با کanal رطوبتی واقع بروی شبه‌جزیره عربستان به داخل ایران انتقال می‌دهد ([شکل ۸ب](#))؛ اما در زمان وقوع خشکسالی‌های فراگیر مشاهده می‌شود که کمارتفاع فلات تبت در قوی‌ترین حالت خود است. در این حالت، زبانه غربی این کمارتفاع، گسترش فضایی زیادی پیدا می‌کند؛ به‌طوری که نیمه شرقی دریای عرب و اقیانوس هند غربی را در این تراز زیر پوشش خود قرار می‌دهد. پرارتفاع اقیانوس اطلس نیز در این شرایط در یک موقعیت ضعیف شده قرار می‌گیرد؛ به‌طوری که در زبانه شرقی آن یک جابه‌جایی به سمت شمال آفریقا مشاهده می‌شود؛ بنابراین با تقویت کمارتفاع تبت و تضییف پرارتفاع اقیانوس اطلس یک جابه‌جایی غرب سو در پرارتفاع مستقر بروی شبه‌جزیره عربستان مشاهده می‌شود؛ به‌طوری که هسته مرکزی این پرارتفاع بروی نیمه غربی و به صورت ویژه بروی شمال غرب شبه‌جزیره عربستان قرار گیرد. با این توضیحات نیمه غربی دریای عرب زیر سیطره پرارتفاع شبه‌جزیره عربستان با گردش ساعتگرد (موافق عقره‌های ساعت) و نیمه شرقی آن زیر سیطره زبانه کمارارتفاع فلات تبت با گردش پاد ساعتگرد (مخالف عقره‌های ساعت) است؛ بنابراین در چنین شرایطی انتقال رطوبت دریای عرب به داخل ایران در این فصل مختل می‌شود ([شکل ۸الف](#))؛ اما در تراز ۵۰۰ هکتوپا سکال الگوهای به‌ذسبت مشابهی از آرایش خطوط همارتفاع را در زمان وقوع ماههای تر و خشک فراگیر فصل بهار بروی دریای عرب و غرب اقیانوس هند می‌توان مشاهده کرد. در این تراز همواره یک پرارتفاع بروی دریای عرب و غرب اقیانوس هند استقرار دارد. این پرارتفاع که درواقع، همان پرارتفاع جنب حاره‌ایی است، نقش بزرگی در وقوع خشکسالی‌ها و ترسالی‌های فراگیر ماه‌های فصل بهار دارد. استقرار این پرارتفاع همواره روی دریای عرب و غرب اقیانوس هند با نزول هوا همراه است؛ بنابراین زمانی که این پرارتفاع با پرارتفاع‌های حاکم بر ترازهای پایین جو بروی دریای عرب و اقیانوس هند همانگ می‌شود، انتقال رطوبت دریای عرب و اقیانوس هند غربی به داخل ایران به‌سهولت انجام می‌شود و سپس این دو پرارتفاع ترسالی‌های فراگیر ایران را در این فصل رقم می‌زنند ([شکل ۸د](#))؛ اما زمانی که در ترازهای پایین، کمارتفاع و در ترازهای میانی به‌خصوص در تراز ۵۰۰ هکتوپاسکال پرارتفاع حاکم باشد، صعود هوا در کمارتفاع‌ها و نزول هوا از پرارتفاع‌ها باعث اختلال در انتقال رطوبت از دریای عرب و غرب اقیانوس هند به داخل ایران و درنهایت، سبب خشکسالی‌های فراگیر فصل بهار می‌شود ([شکل ۸ج](#)).



شکل ۸: نقشه‌های ترکیبی ارتفاع ژوپتانسیل (پریندها) و چرخندگی نسبی (مناطق رنگی) برای ترازهای ۸۵۰ و ۵۰۰ هکتوپاسکال برای آوریل‌های خشک و تر فراگیر. (الف) آوریل ۱۹۹۹ بعنوان یک آوریل خشک فراگیر و (ب) آوریل ۲۰۱۵ بعنوان یک آوریل تر فراگیر (منبع: نویستدگان، ۱۴۰۰)

Figure 8: Composite maps of geopotential height (contour) and relative vorticity (color) for 850 and 500 hPa levels for pervasive wet and dry Aprils. (a) April 1999 as a pervasive dry April and (b) April 2015 as a pervasive wet April

در پژوهش حاضر محتوای رطوبتی جو ایران در تراز ۸۵۰ هکتوپاسکال و نیز در زمان وقوع خشکسالی‌ها و ترسالی‌های فراگیر فصل بهار بررسی شد. با بررسی نقشه‌های ترکیبی رطوبت ویژه و خطوط جريان بهروشنی مشخص شد که انتقال رطوبت دریای عرب بهشت تابعی از استقرار پارتفاع ابر برخی از ابرهای عربستان است. زمانی که این پارتفاع برخی ابرهای غربی عربستان باشد، رطوبت کمتری از این دریا به داخل ایران منتقل می‌شود. خطوط جريان بهروشنی این احتلال را در انتقال رطوبت برای ماه آوریل ۱۹۹۹ در [شکل ۹](#) (الف) به نمایش می‌گذارد. در این ماه مشاهده می‌شود که رطوبت دریای مدیترانه و انتقال آن به داخل ایران نقش پررنگتری در این شرایط دارد ([شکل ۹](#) الف)؛ اما زمانی که این پارتفاع برخی ابرهای شرقی و به صورت ویژه برخی سواحل شرقی شبه‌جزیره عربستان قرار می‌گیرد، رطوبت بیشتری به داخل ایران وارد می‌شود که خطوط جريان ماه آوریل ۲۰۱۵ انتقال رطوبت دریای عرب را از کانال شبه‌جزیره عربستان به خوبی نشان می‌دهد ([شکل ۹](#) ب).



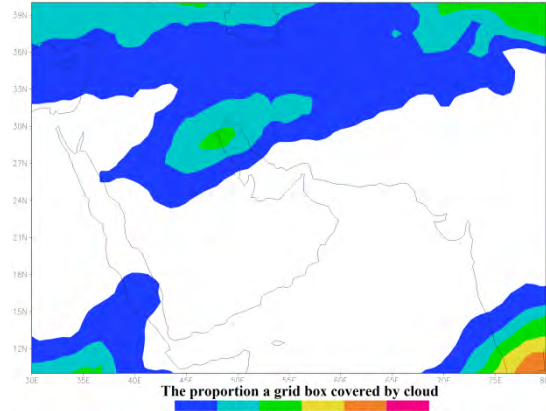
شکل ۹: نقشه‌های ترکیبی رطوبت ویژه (مناطق رنگی) و خطوط جريان تراز ۸۵۰ هکتوپاسکال (پربندها) برای آوريل های خشک و تر فراگیر. (الف) آوريل ۱۹۹۹ به عنوان یک آوريل خشک فراگیر و (ب) آوريل ۲۰۱۵ به عنوان یک آوريل تر فراگیر  
(منبع: نویستندگان، ۱۴۰۰)

Figure 9: Composite maps of specific humidity (color) and stream line (contour) for 850 hpa levels for pervasive wet and dry aprils. (a) april 1999 as a pervasive dry april and (b) april 2001 as a pervasive wet april

در پژوهش حاضر نقشه‌های پوشش ابر ارتفاعات مختلف نیز در تمامی ماههای تر و خشک فراگیر فصل بهار برسی شد. آنچه در این نقشه‌ها بسیار مهم بود، حضور کمرنگ پوشش ابرهای پایین در زمان وقوع ترسالی‌ها و خشکسالی‌های فراگیر ایران بود ([شکل ۱۰-ه-ی](#))؛ اما جدا از ابرهای پایین، وجود پوشش ابرهای میانی و بالا در جو ایران و در زمان وقوع خشکسالی‌ها و ترسالی‌های فراگیر این فصل بسیار مشهود است ([شکل ۱۰-الف-د](#)). همچنین، آنچه باعث می‌شود که ماههای تر و خشک فراگیر از یکدیگر جدا شوند، میزان پوشش آنهاست. همان‌گونه که در [شکل ۱۰ \(ب\)](#) و [\(د\)](#) مشاهده می‌شود در زمان ترسالی‌های فراگیر میزان پوشش ابرهای میانی و بالا بسیار بیشتر از زمان خشکسالی‌های فراگیر است. علاوه بر این، مشاهده می‌شود که در زمان وقوع خشکسالی‌های فراگیر، پیوستگی ابرهای میانی و فوقانی بر روی شبه‌جزیره عربستان قطع می‌شود که ناشی از جابه‌جایی غرب‌سوی پرارتفاع عربستان بر روی شبه‌جزیره عربستان است؛ اما در زمان ترسالی‌های فراگیر این پیوستگی در ابرها در کanal رطوبتی دریای عرب بر روی شبه‌جزیره بیشتر است ([شکل ۱۰ الف و ج](#)).

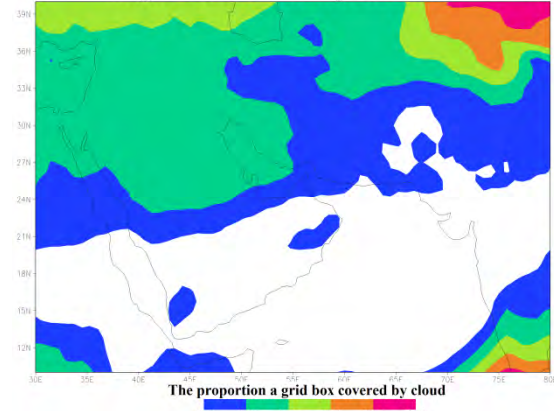
### آوریل خشک فراگیر

High Cloud Cover-Apr-1999-Dry **الف**

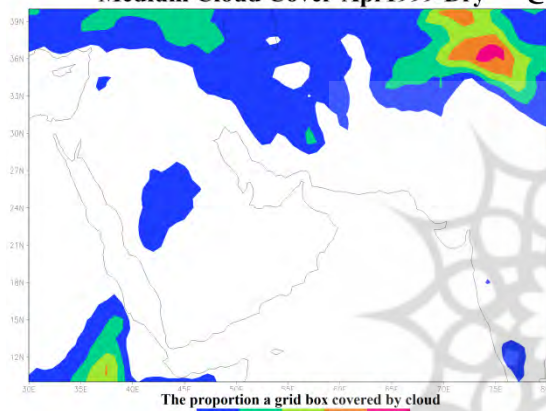


### آوریل تر فراگیر

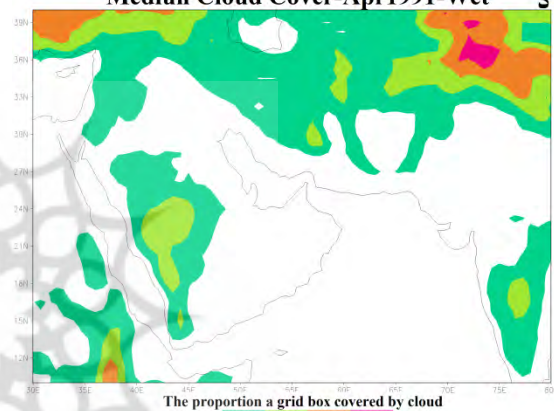
High Cloud Cover-Apr1991-Wet **ب**



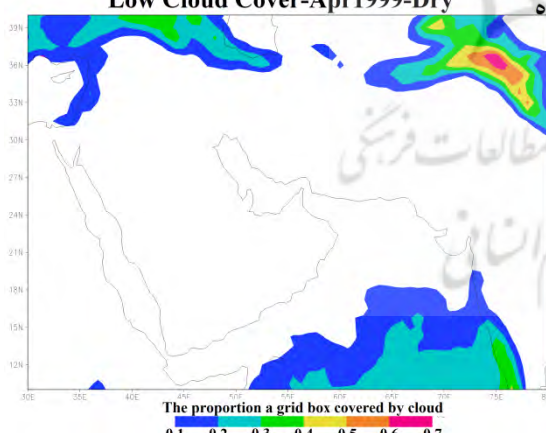
Medium Cloud Cover-Apr1999-Dry **ج**



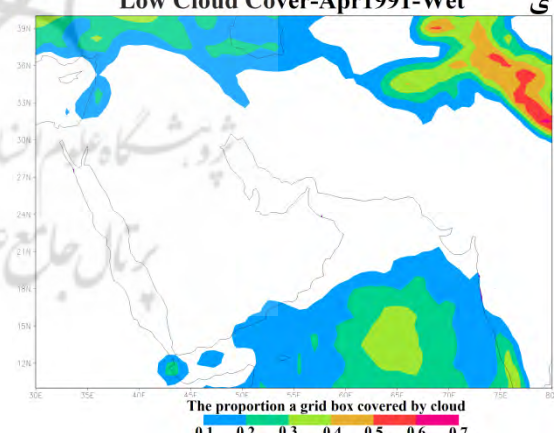
Medium Cloud Cover-Apr1991-Wet **د**



Low Cloud Cover-Apr1999-Dry **ه**



Low Cloud Cover-Apr1991-Wet **و**



شکل ۱۰: نقشه‌های پوشش ابر در سه سطح پایین، میانی و بالا در زمان وقوع خشکسالی‌ها و ترسالی‌های فراگیر ماه آوریل ایران. از بالا به پایین به ترتیب سطح بالا، میانی و پایین. پانل سمت چپ میزان پوشش ابر در آوریل خشک فراگیر سال ۱۹۹۹ و پانل سمت راست میزان پوشش ابر در آوریل تر فراگیر سال ۱۹۹۱ (منع: نویسندهان، ۱۴۰۰)

Figure 10: Cloud cover maps at the three levels of lower, middle and upper of atmosphere during the occurrence of pervasive dry and wet months in Iran. left panel, cloud cover in pervasive dry april 1999 and right panel, cloud cover in pervasive wet april 1991

## نتیجه‌گیری

شناسایی الگوهای همدید منجر به خشکسالی‌ها و ترسالی‌های ایران در مقیاس‌های زمانی و فضایی مختلف می‌شود که این موضوع همواره یکی از دغدغه‌های هواشناسان و اقلیم‌شناسان در ایران بوده است. با داشتن یک پیشینهٔ غنی در این زمینه هنوز ابهام‌هایی درباره سازوکارهای انتقال رطوبت از دریاهای مجاور به خصوص اقیانوس هند و دریای عرب در زمان خشکسالی‌ها و ترسالی‌های فراگیر ایران وجود دارد؛ بنابراین هدف اصلی پژوهش حاضر بررسی جابه‌جاشدن الگوهای گردشی چرخندی و واپرخندی بر روی دریای عرب و شمال اقیانوس هند در زمان و قوع خشکسالی‌ها و ترسالی‌های فراگیر ایران است.

با بررسی سازوکارهای مختلف انتقال رطوبت دریای عرب در زمان و قوع خشکسالی‌ها و ترسالی‌های فراگیر ایران مشخص شد که در هر فصل الگوهای خاصی در انتقال رطوبت این دریا نقش دارد. در فصل پاییز تأخیر در جابه‌جایی جنوب سوی کمارتفاع مونسونی جنوب آسیا باعث می‌شود که زبانهٔ غربی آن بر روی دریای عرب گسترش پیدا کند و این گسترش از طرفی، باعث جابه‌جایی غرب‌سوی پرارتفاع مستقر بر روی شبۀ جزیرۀ عربستان می‌شود و از طرف دیگر، انتقال رطوبت این دریا را به داخل ایران مختل می‌کند و درنهایت، سبب خشکسالی‌های فراگیر ایران می‌شود؛ اما زمانی که کمارتفاع مونسونی جنوب آسیا در موقعیت جنوبی‌تری قرار می‌گیرد از گسترش زبانهٔ غربی آن کاسته می‌شود و سپس پرارتفاع مستقر بر روی شبۀ جزیرۀ عربستان با یک جابه‌جایی شرق‌سوی بر روی سواحل دریای عرب قرار می‌گیرد. در این شرایط کل دریای عرب زیر سیطرۀ این پرارتفاع قرار می‌گیرد و رطوبت آن با کanal رطوبتی شبۀ جزیرۀ عربستان وارد ایران می‌شود.

خشکسالی‌ها و ترسالی‌های فراگیر ایران در فصل زمستان تابعی از رفتار الکلنگی بین پرارتفاع حرارتی آسیایی و پرارتفاع دینامیکی اقیانوس اطلس است. زمانی که پرارتفاع حرارتی آسیایی در قوی‌ترین حالت خود قرار می‌گیرد، زبانهٔ غربی آن گسترش پیدا می‌کند و سپس با پرارتفاع دینامیکی اقیانوس اطلس کل آسیای مرکزی، خاورمیانه و شمال آفریقا را فرامی‌گیرند. در این شرایط پرارتفاع مستقر بر روی شبۀ جزیرۀ عربستان موقعیت غربی‌تری به خود می‌گیرد که این موقعیت جدید از طرفی، باعث تضعیف انتقال رطوبت دریای عرب به داخل ایران می‌شود و از طرف دیگر، زمستان های خشک فراگیر را برای ایران به وجود می‌آورد؛ اما زمانی که پرارتفاع حرارتی آسیایی در ضعیف‌ترین حالت خود قرار می‌گیرد از گسترش زبانهٔ غربی آن کاسته می‌شود. در این شرایط زبانهٔ شرقی پرارتفاع دینامیکی اقیانوس اطلس تقویت و گسترش پیدا می‌کند. این گسترش باعث می‌شود که پرارتفاع مستقر بر روی شبۀ جزیرۀ عربستان یک جابه‌جایی شرق‌سو داشته باشد که سرانجام، این پرارتفاع بر روی سواحل شرقی شبۀ جزیرۀ عربستان مستقر می‌شود. این موقعیت جدید باعث می‌شود که از طرفی، انتقال رطوبت دریای عرب به داخل ایران به سهولت انجام بگیرد و از طرف دیگر، ایران زمستان‌های تر فراگیری را داشته باشد. در فصل بهار با جابه‌جایی خورشید از نیمکرهٔ جنوبی به نیمکرهٔ شمالی بسیاری از سامانه‌های فصل زمستان ماهیت خود را از دست می‌دهند و سامانه‌های جدیدی جایگزین آنها می‌شود. در این فصل کمارتفاع بت و پرارتفاع اقیانوس اطلس مهم‌ترین بازیگران اقلیم جنوب‌غرب آسیا هستند. هر زمان زبانهٔ غربی کمارتفاع فلات بت تقویت و بر روی نیمة شرقی دریای عرب گسترش پیدا کند، جابه‌جایی غرب‌سوی

پرارتفاع مستقر ببروی عربستان صورت می‌گیرد که نتیجه آن خشکسالی‌های فرآگیر برای ایران خواهد بود؛ اما زمانی که کم ارتفاع فلات تبت تضعیف شود و زبانهٔ غربی آن از روی دریای عرب فاصله بگیرد، پرارتفاع دینامیکی اقیانوس اطلس تقویت می‌شود و زبانهٔ شرقی آن گسترش پیدا می‌کند. این گسترش باعث می‌شود که پرارتفاع مستقر ببروی شبه‌جزیرهٔ عربستان یک جابه‌جایی شرق سو داشته باشد و هستهٔ مرکزی آن نیز ببروی سواحل غربی دریای عرب قرار گیرد که در چنین شرایطی کل دریای عرب زیر سیطرهٔ این پرارتفاع قرار خواهد گرفت. این پرارتفاع با یک گردش ساعتگرد (موافق عقربه‌های ساعت)، رطوبت دریای عرب را با کanal رطوبتی شبه‌جزیرهٔ عربستان به داخل ایران انتقال می‌دهد. در ماه‌های انتهایی فصل بهار نیز انتقال رطوبت دریای عرب به داخل ایران با جابه‌جایی شمال‌سوی کمریند هم‌گرایی حاره‌ای و استقرار آن ببروی جنوب آسیا و گسترش زبانه‌ای از کم ارتفاع مونسونی هندوستان ببروی نیمهٔ شرقی دریای عرب به کمترین مقدار خود می‌رسد.

## منابع

آب خرابات، شعیب، رضایی بنفشه، مجید، جهانبخش اصل، سعید، کریمی مصطفی، و رسولی، علی‌اکبر (۱۳۹۵). تحلیل دینامیک-سینوپتیکی سازوکار بارش‌های تابستانه جنوب شرق ایران. پژوهش‌های جغرافیای طبیعی، ۴۸(۹۷)، ۳۴۹-۳۵۵. <https://doi.org/10.22059/jphgr.2016.60092>

احمدی حجت، معصومه، احمدی گیوی، فرهنگ، و حجام، سهراب (۱۳۹۲). بررسی روند تغییرات پرفسار سیبری و تأثیر آن بر میدان‌های هواشناختی در بازهٔ زمانی ۱۹۴۸ تا ۱۹۹۸. فیزیک زمین و فضای، ۲۹(۲)، ۱۲۷-۱۳۸. <https://doi.org/10.22059/jesphys.2013.35193>

پرک، فاطمه، روشنی، احمد، و علیجانی، بهلول (۱۳۹۴). واکاوی همدیدی سامانه‌های کم‌فشار سودانی در رخداد ترسالی‌ها و خشکسالی‌های نیمهٔ جنوبی ایران. جغرافیا و مخاطرات محیطی، ۴(۳)، ۷۵-۹۰. <https://doi.org/10.22067/geo.v4i3.40062>

خدادی، محمدمهری، آزادی، مجید، و قائمی، هوشنگ (۱۳۹۲الف). نقش سامانه‌های همدیدی گذرا در ترابرد فصلی رطوبت روی ایران. پژوهش‌های اقلیم‌شناسی، ۴(۱۵)، ۴۷-۶۲.

خدادی، محمدمهری، آزادی، مجید، و رضازاده، پرویز (۱۳۹۲ب). منابع رطوبت و ترابرد ماهانه آن روی ایران و برهمکنش آن با مونسون هندوستان و پرارتفاع جنوب حاره. ژئوفیزیک ایران، ۲۷(۲)، ۹۶-۱۱۳. [https://www.ijgeophysics.ir/article\\_40589.html?lang=en](https://www.ijgeophysics.ir/article_40589.html?lang=en)

خسروی، یونس، دوستکامیان، مهدی، و طاهریان، الله مراد (۱۳۹۶). بررسی و تحلیل الگوی فرارفت رطوبتی بارش‌های فرآگیر ایران. جغرافیا، ۱۵(۵۳)، ۵۱-۲۶۴.

خوشحال، جواد، خسروی، محمود، و نظری‌پور، حمید (۱۳۸۸). شناسایی منشأ و مسیر رطوبت بارش‌های فوق سنگین استان بوشهر. جغرافیا و توسعه، ۱۷(۱۶)، ۷-۲۸. <https://doi.org/10.22111/gdij.2009.1173>

رسولی، علی‌اکبر، باباییان، ایمان، قائمی، هوشنگ، و زوار رضا، پیمان (۱۳۹۱). تحلیل سری‌های زمانی فشار مراکز الگوهای سینوپتیکی موثر بر بارش‌های فصلی ایران. جغرافیا و توسعه، ۱۰(۲۷)، ۷۷-۸۸. <https://doi.org/10.22111/gdij.2012.486>

رنجبر سعادت آبادی، عباس، و ایزدی، پریسا (۱۳۹۲). ارتباط بی‌هنگاری‌های دمای آب سطح اقیانوس هند و دریای عرب با بی‌هنگاری‌های بارش نیمة جنوبی ایران. *فیزیک زمین و فضای*، ۱۳۵(۴)، ۱۷۵-۱۳۵.

<https://doi.org/10.22059/jesphys.2013.35986>

عزیزی، قاسم، و یوسفی، حسن (۱۳۸۴). زمانیابی ورود پرفشار سیبری به سواحل جنوبی دریای خزر. *مدرس علوم انسانی*، ۹(۴)، ۸۱-۱۰۰.

علیجانی، بهلول (۱۳۸۲). *اقلیم‌شناسی ایران*. انتشارات دانشگاه پیام نور.

علیجانی، بهلول، و دوستان، رضا (۱۳۹۱). شناسایی کانون‌های کنترل‌کننده اقلیم ایران و الگوهای فشار مربوط در سطح ۵۰۰ هکتو پاس کال جو ایران در دوره سرد سال. *جغرافیا و توسعه ناحیه ای*، ۱۰(۲)، ۲۵۵-۲۷۹.

<https://doi.org/10.22067/geography.v0i0.23259>

علیجانی، بهلول، محمودی، پیمان، و چوگان، عبدالجبار (۱۳۹۱). بررسی روند تغییرات بارش‌های سالانه و فصلی ایران با استفاده از روش ناپارامتریک «برآورد کننده شبیه سنس». *پژوهش‌های اقلیم‌شناسی*، ۳(۹)، ۲۳-۴۲.

علیجانی، بهلول، محمودی، پیمان، شاهوژئی، عبدالرئوف، و محمدی، عبدالمجید (۱۳۹۳). بررسی احتمال تداوم روزهای بارش در ایران زمین. *جغرافیا و برنامه‌ریزی محیطی*، ۲۵(۴)، ۱-۱۶.

[https://gep.ui.ac.ir/article\\_18692.html?lang=en](https://gep.ui.ac.ir/article_18692.html?lang=en)

فتح‌نیا، امان‌الله، رحیمی، حمید، و آب خرابات، شعیب (۱۳۹۷). تعیین گسترش زمانی-مکانی پرفشار سیبری بر روی ایران و اثر آن بر تغییرات دما و بارش. *جغرافیا و برنامه‌ریزی*، ۲۲(۶۳)، ۱۸۳-۲۰۲.

کریمی احمدآباد، مصطفی (۱۳۸۶). تحلیل منابع رطوبت بارش‌های ایران [پایان‌نامه دکترای منتشرنشده]. دانشگاه تربیت مدرس.

کریمی، مصطفی، و فرج‌زاده، منوچهر (۱۳۹۰). شار رطوبت و الگوهای فضایی-زمانی منابع تأمین رطوبت بارش‌های ایران. *تحقیقات کاربردی علوم جغرافیایی*، ۱۱(۲۲)، ۱۰۹-۱۲۷.

<http://jgs.knu.ac.ir/article-1-630-fa.html>

لشکری، حسن (۱۳۸۱). مسیریابی سامانه‌های کم‌فارش سودانی ورودی به ایران. *فصلنامه مدرس علوم انسانی*، ۲(۲۵)، ۷۱-۹۵.

لشکری، حسن، و محمدی، زینب (۱۳۹۴). اثر موقعیت استقرار پرفشار جنب حاره‌ای عربستان بر سامانه‌های بارشی در جنوب و جنوب غرب ایران. *پژوهش‌های جغرافیای طبیعی*، ۴۷(۹۱)، ۷۳-۹۰.

<https://doi.org/10.22059/jphgr.2015.53679>

لشکری، حسن، متکان، علی‌اکبر، آزادی، مجید، و محمدی، زینب (۱۳۹۶). تحلیل همدیدی نقش پرفشار جنب حاره‌ای عربستان و رودباد جنب حاره‌ای در خشکسالی‌های شدید جنوب و جنوب غرب ایران. *پژوهش‌های دانش زمین*، ۱(۳۰)، ۱۴۱-۱۶۳.

<https://doi.org/20.1001.1.20088299.1396.8.2.10.0>

محمدی، زینب، و لشکری، حسن (۱۳۹۷). نقش جابه‌جایی مکانی پرفشار عربستان و رودباد جنب حاره‌ای در الگوهای همدیدی و ترمودینامیکی ترسالی‌های شدید جنوب و جنوب غرب ایران. *پژوهش‌های جغرافیای طبیعی*,

<https://doi.org/10.22059/jphgr.2018.249422.1007165>

محمودی، پیمان، طاووسی، تقی، و کردی تمدنانی، صابرہ (۱۴۰۱). شناسایی الگوهای ناهنجاری‌های همدیدی منجر به خشکسالی‌ها و ترسالی‌های فراگیر ایران. پژوهش‌های جغرافیای طبیعی، ۵۴(۱)، ۱-۲۰.

<https://doi.org/10.22059/jphgr.2022.267431.1007286>

محمودی، پیمان، حمیدیان‌پور، محسن، و سنایی، مهدی (۱۴۰۱). ویژگی‌های همگرایی شار رطوبتی در زمان و قوع خشکسالی‌ها و ترسالی‌های فراگیر ایران. پژوهش‌های اقلیم‌شناسی، ۵۲(۱۳)، ۱۴۳-۱۶۸.

[https://clima.irimo.ir/article\\_172925.html](https://clima.irimo.ir/article_172925.html)

مفیدی، عباس، و زرین، آذر (۱۳۸۴). بررسی سینوپتیکی تأثیر سامانه‌های کم‌فشار سودانی در وقوع بارش‌های سیل‌زا در ایران. فصلنامه تحقیقات جغرافیایی، ۲(۷۷)، ۱۱۳-۱۳۶.

نوری، حمید، غیور، حسنعلی، مسعودیان، ابوالفضل، و آزادی، مجید (۱۳۹۲). تحلیل فراوانی تابع همگرایی شار رطوبت و منابع رطوبتی بارش سواحل جنوبی خزر. جغرافیا و برنامه‌ریزی محیطی، ۲۶(۳)، ۱-۱۴.

[https://gep.ui.ac.ir/article\\_18614.html?lang=en](https://gep.ui.ac.ir/article_18614.html?lang=en)

## References

- Abkharabat, S M., Rezaeibanafsheh, S., Jahanbakhsh Asl, M., Karimi, A., & Rasouli, A. A. (2016). Dynamical-synoptical analysis of summer precipitation process in southeast Iran. *Physical Geography Research Quarterly*, 48(3), 335-349. <https://doi.org/10.22059/jphgr.2016.60092> [In Persian].
- Ahmadi-hojat, M., Ahmadi-Givi, F., & Hajjam. S. (2013). The trend of the Siberian high pressure and its impacts on the meteorological fields during 1948-2008. *Journal of the Earth and Space Physics*, 39(2), 127-138. <https://doi.org/10.22059/jesphys.2013.35193> [In Persian].
- Alijani, B. (1997). *Climate of Iran*. Payam Noor University Press. [In Persian].
- Alijani, B., & Doostan, R. (2013). Identifying the controlling centers of the climate of Iran and their pressure patterns in the 500 Hpa level during cold period of the year. *Journal of Geography and Regional Development*, 19, 255-279. <https://doi.org/10.22067/geography.v0i0.23259> [In Persian].
- Alijani, B., Mahmoudi, P., & Chogana, J. (2012). A study of annual and seasonal precipitation trends in Iran using a nonparametric method (Sen's slope estimator). *Journal of Climate Research*, 3(9), 23-43. [In Persian].
- Alijani, B., Mahmoudi, P., Shahoozehi, A., & Mohammadi. A. (2014). A study of the persistence of precipitation days in Iran. *Journal of Geography and Environmental Planning*, 25(4), 1-16. [https://gep.ui.ac.ir/article\\_18692.html?lang=en](https://gep.ui.ac.ir/article_18692.html?lang=en) [In Persian].
- Alpert, P., Ben-Gai, T., Baharad, A., Benjamini, Y., Yekutieli, D., Colacino, M., ... & Manes, A. (2002). The paradoxical increase of Mediterranean extreme daily rainfall in spite of decrease in total values. *Geophysical Research Letters*, 29(11), 1-31.
- Azizi, G., & Yosefi, H. (2006). Time detection of Siberian high-pressure arrival to the southern coasts of Caspian Sea. *Modarres Human Sciences*, 9(4), 81-100. [In Persian].
- Balling, R. C., Keikhsravi Kiany, M. S., Sen Roy, S., & Khoshhal, J. (2016). Trends in extreme precipitation indices in Iran: 1951–2007. *Journal of Advances in Meteorology*, 2016, 1-8. <https://doi.org/10.1002/joc.6708>
- Cullen, H. M., Kaplan, A., Arkin, P. A., & Demenocal, P. B. (2002). Impact of the North Atlantic Oscillation on Middle Eastern climate and streamflow. *Journal of Climatic Change*, 55, 315-338. <https://doi.org/10.1023/A:1020518305517>
- Dayan, U., & Sharon, D. (1980). Meteorological parameters for discriminating between widespread and spotty storms in the Negev. *Isr Journal of Earth Sciences*, 29(4), 253–256.

- Dayan, U., Ziv, B., Margalit, A., Morin, E., & Sharon, D. (2001). A severe autumn storm over the middle-east: synoptic and mesoscale convection analysis. *Journal of Theoretical and Applied Climatology*, 69, 103-122. <https://doi.org/10.1007/s007040170038>
- De Vries, A. J., Tyrlis, E., Edry, D., Krichak, S. O., Steil, B., & Lelieveld, J. (2013). Extreme precipitation events in the Middle East: dynamics of the Active Red Sea Trough. *Journal of Geophysical Research: Atmospheres*, 118(13), 7087-7108. <https://doi.org/10.1002/jgrd.50569>.
- Dünkeloh, A., & Jacobbeit, J. (2003). Circulation dynamics of Mediterranean precipitation variability 1948–98. *International Journal of Climatology: A Journal of the Royal Meteorological Society*, 23(15), 1843-1866. <https://doi.org/10.1002/joc.973>
- Eshel, G., & Farrell, B. F. (2000). Mechanisms of eastern Mediterranean rainfall variability. *Journal of the Atmospheric Sciences*, 57(19), 3219-3232. [https://doi.org/10.1175/1520-0469\(2000\)057<3219:MOEMRV>2.0.CO;2](https://doi.org/10.1175/1520-0469(2000)057<3219:MOEMRV>2.0.CO;2)
- Fallah Ghalhari, G. A., Dadashi Roudbari, A. A., & Asadi, M. (2016). Identifying the spatial and temporal distribution characteristics of precipitation in Iran. *Arabian Journal of Geosciences*, 9, 1-12. <https://doi.org/10.1007/s12517-016-2654-9>
- Fathnia, F., Rahimi, H., & Abkharabat, S. (2018). Determine of spatial-temporal spread of the Siberian high pressure on Iran and its effect on precipitation and temperature changes. *Journal of Geography and Planning*, 22(63), 183-202. [In Persian].
- Ghasemi, A. R., & Khalili, D. (2008). The association between regional and global atmospheric patterns and winter precipitation in Iran. *Journal of Atmospheric Research*, 88(2), 116-133. <https://doi.org/10.1016/j.atmosres.2007.10.009>
- Ghesmati, D., Shafti, L., Kompouti, Z., Naghusi, A., Pepki, M., Zarif, O., & Haghigat, M. (2004). Spatial variation of precipitation in Iran. *Journal of Soil Water Sciences*, 1, 16–25. <https://doi.org/10.3390/ijgi9020073>
- Hasanean, H., & Almazroui, M. (2015). Rainfall: features and variations over Saudi Arabia, a review. *Climate*, 3, 578–626. <https://doi.org/10.3390/cli3030578>
- Heydarizad, M., Raeisi, E., Sori, R., & Gimeno, L. (2018). The identification of Iran's moisture sources using a lagrangian particle dispersion model. *Atmosphere*, 9(10), 408. <https://doi.org/10.3390/atmos9100408>
- Javari, M. (2016). Trend and homogeneity analysis of precipitation in Iran. *Climate*, 4, 44. <https://doi.org/10.3390/cli4030044>
- Kahana, R., Ziv, B., Enzel, Y., & Dayan, U. (2002). Synoptic climatology of major floods in the Negev Desert, Israel. *International Journal of Climatology: A Journal of the Royal Meteorological Society*, 22(7), 867-882. <https://doi.org/10.1002/joc.766>
- Karimi Ahmad Abad, M. (2007). *Analysis of the moisture supplying sources for Iran's precipitation*. [Unpublished doctoral dissertation]. Tarbiat Modarres University. [In Persian].
- Karimi, M., & Farajzadeh, M. (2012). Moisture flux and spatial-temporal patterns of moisture supply resources in precipitation of Iran. *Journal of Applied Researches in Geographical Sciences*, 11(22), 109-127. <http://jgs.knu.ac.ir/article-1-630-fa.html> [In Persian].
- Karimi, M., Jafari Norouzi, F., Khoshakhlagh, F., & Shamsipour, A. (2022). Atmospheric circulation and precipitation in Southwest Asia: The role of the Arabian Anticyclone in precipitation of Iran. *Journal of Atmospheric and Solar-Terrestrial Physics*, 238-239, 105933. <https://doi.org/10.1016/j.jastp.2022.105933>
- Khodadi, M. M., Azadi, M., & Ghaemi, H. (2013). Role of transient synoptic systems on seasonal moisture transport over Iran. *Journal of Climate Research*, 4(15), 47-62. [In Persian].
- Khodadi, M. M., Azadi, M., & Rezazadeh, P. (2013). Moisture sources and transport over Iran and its interaction with Indian monsoon and subtropical high. *Iranian Journal of Geophysics*, 7(2), 96-113. [https://www.ijgeophysics.ir/article\\_40589.html?lang=en](https://www.ijgeophysics.ir/article_40589.html?lang=en) [In Persian].

- Khosravi, Y., Doustkamian, M., & Taheriyan, A. M. (2017). The survey of moisture advection pattern of Iran's comprehensive precipitations. *Geography*, 15(53), 251-264. [In Persian].
- Khoushhal, J., Khosravi, M., & Nazaripour, H. (2010). Identification humidity resources and course of super heavy precipitation in Bushehr Province. *Journal of Geography and Development*, 7(16), 7-28. <https://doi.org/10.22111/gdij.2009.1173> [In Persian].
- Knippertz, P. (2005). Tropical-extratropical interactions associated with an Atlantic tropical plume and subtropical jet streak. *Monthly Weather Review*, 133(9), 2759-2776. <https://doi.org/10.1175/MWR2999.1>
- Lashkari, H. (2002). Tracking Sudanian low systems entering Iran. *Modarres Human Sciences*, 6(2), 133-156. [In Persian].
- Lashkari, H., & Mohammadi, Z. (2015). The role of Saudi Arabian sub-tropical high pressure on the south and south-west of Iran rainfall systems. *Physical Geography Research Quarterly*, 47(91), 73-90. <https://doi.org/10.22059/jphgr.2015.53679> [In Persian].
- Lashkari, H., Motakan, A., Azadi, M., & Mohammadi, Z. (2017). Synoptic analysis of the role of Saudi Arabia subtropical high pressure subtropical and polar jet streams and severe droughts in South and South West of Iran. *Journal of Earth Science Researches*, 8(30), 141-163. <https://doi.org/10.1001.1.20088299.1396.8.2.10.0> [In Persian].
- Lockwood, J. G. (1988). Climate and climatic variability in semi-arid regions at low latitudes. In *The Impact of Climatic Variations on Agriculture: Volume 2: Assessments in Semi-Arid Regions* (pp. 85-120). Dordrecht: Springer Netherlands. [https://doi.org/10.1007/978-94-009-2965-4\\_3](https://doi.org/10.1007/978-94-009-2965-4_3)
- Mahmoudi, P., Hamidianpour, M., & Sanaei, M. (2023). Characteristics of moisture flux convergence in pervasive wet and dry periods in Iran. *Journal of Climate Research*, 13(52), 143-168 [In Persian].
- Mahmoudi, P., Tavousi, T., & Kordi Tamandani, S. (2022). Identifying patterns of synoptic anomalies resulting in pervasive droughts and wet periods in Iran. *Physical Geography Research Quarterly*, 54(1), 1-20. <https://doi.org/10.22059/jphgr.2022.267431.1007286> [In Persian].
- Martius, O., Sodemann, H., Joos, H., Pfahl, S., Winschall, A., Croci-Maspoli, M., ... & Wernli, H. (2013). The role of upper-level dynamics and surface processes for the Pakistan flood of July 2010. *Quarterly Journal of the Royal Meteorological Society*, 139(676), 1780-1797. <https://doi.org/10.1002/qj.2082>
- McKee, T. B. (1995). Drought monitoring with multiple time scales. In *Proceedings of 9th Conference on Applied Climatology*, Boston.
- McKee, T. B., Doesken, N. J., & Kleist, J. (1993). The relationship of drought frequency and duration to time scales. In *Proceedings of the 8th Conference on Applied Climatology* (Vol. 17, No. 22, pp. 179-183).
- Modarres, R., & Sarhadi, A. (2009). Rainfall trends analysis of Iran in the last half of the twentieth century. *Journal of Geophysical Research: Atmospheres*, 114, 101. <https://doi.org/10.1029/2008JD010707>
- Mofidi, A., & Zarrin, A. (2005). The synoptic study of low-pressure systems of the Sudan in heavy rain falls in Iran. *Journal of Geographical Research*, 20(2), 113-136. [In Persian].
- Mohammadi, Z., & Lashkari, H. (2018). Effects of spatial movement of Arabia subtropical high pressure and subtropical jet on synoptic and thermodynamic patterns of intense wet years in the south and south west Iran. *Physical Geography Research Quarterly*, 50(105), 491-509. <https://doi.org/10.22059/jphgr.2018.249422.1007165> [In Persian].
- Nouri, H., Ghayour, H., Masoodian, S. A., & Azadi, M. (2013). Analysis of moisture flux convergence and moisture sources for precipitation in the southern coasts of Caspian Sea. *Journal of Geography and Environmental Planning*, 24(3), 1-14. [https://gep.ui.ac.ir/article\\_18614.html?lang=en](https://gep.ui.ac.ir/article_18614.html?lang=en) [In Persian].
- Oikonomou, C., Flocas, H. A., Hatzaki, M., Nisantzi, A., & Asimakopoulos, D. N. (2010). Relationship

- of extreme dry spells in Eastern Mediterranean with large-scale circulation. *Journal of Theoretical and Applied Climatology*, 100, 137-151. <https://doi.org/10.1007/s00704-009-0171-4>
- Parak, F., Roshani, A., & Aljani, B. (2015). Synoptic investigation of the role of the Sudanese low-pressure system during wet and drought years in the southern half of Iran. *Journal of Geography and Environmental Hazards*, 4(3), 75-90. <https://doi.org/10.22067/geo.v4i3.40062> [In Persian].
- Rahimzadeh, F., Asgari, A., & Fattahi, E. (2009). Variability of extreme temperature and precipitation in Iran during recent decades. *International Journal of Climatology: A Journal of the Royal Meteorological Society*, 29(3), 329-343. <https://doi.org/10.1002/joc.1739>
- Ranjbar Saadatabadi, A., & Izadi, P. (2013). Relationships between Arab sea and Indian Ocean surface temperature anomalies with precipitation over southern of Iran. *Journal of the Earth and Space Physics*, 39(4), 135-157. <https://doi.org/10.22059/jesphys.2013.35986> [In Persian].
- Rasouli, A. A., Babaeian, I., Ghaemi, H., & Zavarreza, P. (2012). Time series analysis of the pressure of the synoptic pattern centers affecting on seasonal precipitation of Iran. *Journal of Geography and Development*, 10(27), 18-21. <https://doi.org/10.22111/gdij.2012.486> [In Persian].
- Raymond, F., Ullmann, A., Camberlin, P., Oueslati, B., & Drobinski, P. (2018). Atmospheric conditions and weather regimes associated with extreme winter dry spells over the Mediterranean basin. *Climate Dynamics*, 50, 4437-4453. <https://doi.org/10.1007/s00382-017-3884-6>
- Rousta, I., Soltani, M., Zhou, W., & Cheung, H. H. (2016). Analysis of extreme precipitation events over central plateau of Iran. *American Journal of Climate Change*, 5(3), 297-313. <http://dx.doi.org/10.4236/ajcc.2016.53024>
- Saaroni, H., Ziv, B., Harpaz, T., & Lempert, J. (2019). Dry events in the winter in Israel and its linkage to synoptic and large-scale circulations. *International Journal of Climatology*, 39(2), 1054-1071. <https://doi.org/10.1002/joc.5862>
- Sabziparvar, A. A., Movahedi, S., Asakereh, H., Maryanaji, Z., & Masoodian, S. A. (2015). Geographical factors affecting variability of precipitation regime in Iran. *Journal of Theoretical and Applied Climatology*, 120, 367-376. <https://doi.org/10.1007/s00704-014-1174-3>
- Tabari, H., & Talaee, P. H. (2011). Temporal variability of precipitation over Iran: 1966-2005. *Journal of Hydrology*, 396(3-4), 313-320. <https://doi.org/10.1016/j.jhydrol.2010.11.034>
- Tramblay, Y., & Hertig, E. (2018). Modelling extreme dry spells in the Mediterranean region in connection with atmospheric circulation. *Journal of Atmospheric Research*, 202, 40-48. <https://doi.org/10.1016/j.atmosres.2017.11.015>
- Trewartha, G. T., & Horn, L. H. (1980). *Introduction to Climate* (5nd ed.). McGraw Hill.
- Ziv, B. (2001). A subtropical rainstorm associated with a tropical plume over Africa and the Middle-East. *Journal of Theoretical and Applied Climatology*, 69, 91-102. <https://doi.org/10.1007/s007040170037>
- Ziv, B., Dayan, U., & Sharon, D. (2005). A mid-winter, tropical extreme flood-producing storm in southern Israel: synoptic scale analysis. *Journal of Meteorology and Atmospheric Physics*, 88, 53-63. <https://doi.org/10.1007/s00703-003-0054-7>
- Ziv, B., Saaroni, H., Pargament, R., Harpaz, T., & Alpert, P. (2014). Trends in rainfall regime over Israel, 1975–2010, and their relationship to large-scale variability. *Journal of Regional Environmental Change*, 14, 1751-1764. <https://doi.org/10.1007/s10113-013-0414-x>

